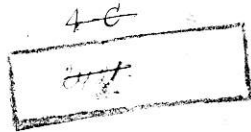


Die Geologie
der
Baltisch-pomeranischen Halbinsel.



Theodor Heinrichson.

Magister geologiae aal.

25. V. 1923.

Inhaltsverzeichnis.

| | |
|---|---------|
| Vorwort | Seite 1 |
| Literaturverzeichnis | " 3 |
| I Kapitel: Historischer Überblick der geologischen Kartenaufnahmen von Estland. | > 14 |
| II Kapitel: Die Oberflächengestaltung der Baltiokopter Halbinsel | 24 |
| III Kapitel: Die Nomenklatur der estnischen kambisch-silurischen Ablagerungen | > 32 |
| IV Kapitel: Die Grenze der kambischen und silurischen Formationen in Estland. | , 39 |
| V Kapitel: Die stratigraphischen Verhältnisse der Baltiokopter Halbinsel | > 43 |
| A. Das Kambrium | , 45 |
| der Quarzsandstein | , 45 |
| B. Das Untersilur (Ordovizium) | , 48 |
| das Oboluskonglomerat (Aza) | , 48 |
| Der Obolussandstein (Kz) | , 50 |
| die Schneefeldkieselbank (Aza) | , 51 |
| der Dictyonemankalken (Aza) | , 53 |
| C. Der Glauconitsand (B ₁) | , 57 |

| | |
|-----------------------------------|--------|
| Der Glaukonitkalk (B_2) | S. 60. |
| Der Vaginatenkalk (B_3) | S. 65. |
| Der Echinospaeritenkalk (C_1) | S. 68 |
| Die Kuckarsche Stufe (C_2) | S. 75 |
| Die Jemische Stufe (D_1) | S. 79 |

Profile und Karten.

- I. Profil bei Hugo
- II. Profil im Talschnitt
- III. Profil bei Lepiko
- IV. Längsprofil der Baltischporter Halbinsel
- V-VI. Geologische Karte der Baltischporter Halbinsel.

Literatur verzeichnis.

1. 1820 Engelhard, M. v. Darstellungen aus dem Felsgebäude Russlands. T. drit. Geognostischer Umriss von Finnland. Berlin 1820.
2. 1821 Strangways, H. F. Geological sketch of the environs of St. Petersburg. Transact. of the Geol. Soc. Vol. II p. I London 1821.
3. 1822 Strangways, H. F. An outline of the Geology of Russia, with sketch, to serve as a basis for a geological map of European Russia.
ib. Second series Vol. I part I London 1822.
4. 1825 Sieckwald, E. v. Geognostico-zoologicae per Ingriam marisque Baltici provincias, nec non de Trilobites observationes. Passani 1825.
5. 1830 Engelhard M. v. und Uprecht E. Umriss der Felsstruktur Estlands und Livlands, mit Karte und Schichtenprofil. Karstens Archiv 1830 Bd. II.
6. Pander, Ch. H. Beiträge zur Geognosie des Russischen Reichs. St. Petersburg 1830.
7. 1838 Лофманн, Ор. Д. Геогностическое изображение, пронутого генезиса то время пурпурескис изг. Академ. Геолог. журнала 1838 №. 3. кн. 1.
8. 1838 Цильмерсон. Огрес по изысканиям в 1838 году над извездоизданием горного санкт-петербургского музея Третьяковской губернии, в описании которых музея Геолог. журнала. Час. 2. 1838 №. III кн. 8.
(deutsch in Finland Bd. III 1838)

9. 1839 Helmersen, J. v. Über den bituminösen Thon -
chiefer und ein neuentdecktes, brennbares
Gestein der Übergangsformation Russlands mit
Bemerkungen über einige geologische Erscheinungen
neuerer Zeit (mit 1 Karte). Bull. Ac. Imp. des Sciences
de St. Petersburg T. IV-5. 1839.
(russisch: Топорицъ сибирскъ 1839 №. III таб. 7.)
10. 1840 Murchison, R. I. The Silurian System founded
on geological research in the country. In two
parts. London 1840.
11. 1840 Eichwald, S. v. Über das silurische Schichten-
system in Skotland. St. Petersburg 1840.
(russisch in „Неводненскии мір Порів зеїп. I. СІІІ. 1840“)
12. 1840 Coxe, O. Топорицъ сибирскъ Порів.
світл. 1840 №. IV таб. II.
13. 1841 Buch, L. v. Beiträge zur Bestimmung der
Gebirgsformationen Russlands. Karstens Archiv 1841
Bd. XV Heft 1.
14. 1841 Helmersen, J. v. Übersichtskarte der Gebirgsformationen
im europäischen Russland selbst Anzeige.
Bull. Ac. Imp. des Sciences de St. Petersburg T. IX Suppl. 1.
(russisch: Топорицъ сибирскъ 1841)
15. 1841 Meyendorff, Baron A. Übersichtskarte der Gebirgs-
formationen im europäischen Russland. Beilage
zu Bd. I von Karstens Archiv für wissenschaftliche Freunde
von Russland. Berlin 1841.

10. 1842 Eichwald, S. v. Nicer veenag zur geognosie Estlands und Finnlands. die Urwelt Russlands Heft 2. St. Petersburg 1842. (Erschien 1843 unter demselben Titel in Baer und Helmersens Bihängen zur Kenntnis des Russischen Reichs Bd. 8).
11. Eichwald, S. v. Über die Obsolen und den silurischen Sandstein von Estland und Schweden. ib. St. Petersburg 1842.
12. 1843 Природа и Транспорт геологическое описание формаций заморской Азии въ Китае и Китайской империи и на островах Кубрик. Тиф. Китай. 1843 М. Т. № 3.
13. 1844 Тихий океан, Описание геологического и палеогеографического замысла въ Тихомъ океанѣ, въ японскомъ морѣ предполагаемыхъ разведокъ (1841-42). Тиф. Китай. 1844 № 1 № 2.
14. Соколовъ, Геологическое описание изъ Японии. Тиф. Китай. 1844 № 1 № 3.
15. Озеркинъ, А. Геологическое описание изъ Японии. ib. 1844 № 1 № 5 app. 157-201
и диссертация на франц. языке. Тиф. Китай, въ географическомъ Училище императора Николая I. № 6 app. 285-333.
16. 1845 Blaede, Darstellung der Gebirgsformationsysteme in Russland. Bull. de la Soc. Imp. des Naturalistes de Moscow 1845 № 1.
17. Murchison, De la Beche, McCoy, Huxley. The Geology of Russia in Europe and the Ural mountains.

- Val. I. Geology. London 1845.
- Val. II Palaeontology. Londres et Paris 1845.
(dieselbe russisch mit Nachrichten von Ossenay:
Opus. ocypricus 1846 - 48).
- identisch Bd. I von Leonhard Stuttgart 1848)
24. 1845 Мурзинов О геологическом происхождении
зеленого камня из озера Балхаша в
Казахстане и в Тянь-Шане и об особенностях
Печи. Opus. ocypricus 1845 тт. III и IV.
25. 1846 Eichwald, E. u. Einige vergleichende Bemerkungen
zur Geologie Skandinaviens und der westlichen
Provinzen Russlands. Bull. de la Soc. Imp. des
Naturalistes de Moscow 1846 Bd. 19.
26. Fürkbraeuer Neozoisie CMB. 1846.
(hierin Murchison, Verneuil und Keyserlings Karte mit
russischer Schrift).
27. 1852 Rathlef, K. Skizze der orographischen und
hydrographischen Verhältnisse von Liv-, Est-
und Kurland. Riga 1852.
28. 1853-54 Buhse, F. und Buchholz, R. Überblick der natur-
historischen Literatur von Liv-, Est- und Kurland.
Korrespondenzl. des Naturf. Ver. Bd. 7 Riga 1853/54.
(Geologie und Paläontologie J. 84-89).
29. 1854 Eichwald, E. u. Die Grauwackenschichten von
Liv- und Estland. Bull. de la Soc. Imp. des Naturalistes
de Moscow. Bd. XXVII. Moscow 1854.

- 7.
30. 1855 Grewingk, C. Einiges über die Ergebnisse der Arbeiten im NW-silurischen Gebiete Russlands. Mit Karte.
Correspondenzbl. des Naturf. Vereins Bd. VIII No 10 Riga 1855.
31. 1856 Helmersen, J. n. Über das langsame Emporsteigen der Ufer des Baltischen Meeres und die Wirkung der Wellen und des Eises auf dieselben. (Mit 1 Tafel). Bull. de l'Ac. Imp. des Sciences de St. Petersburg 1856 T. XIV № 13 & 14.
(dieselbe russisch: Zapt. zaypn. 1857 p. I nn. 3.)
32. 1858 Schmidt, F. Untersuchungen über die silurische Formation von Estland, Nord-Livland und Oesel. (Mit Karte) Archiv f. Naturk. Lit., Bot- und Tierlands I Serie Bd. II Dorpat 1858.
33. 1861 Grewingk, C. Geologie von Liv- und Kierland. Mit 1 geognostischen Karte von Lit-, Est- und Kierland.
Arch. f. Naturk. Lit-, Est- und Kierlands I Ser. Bd. II Dorpat 1861.
34. 1865 Eichwald, E. v. Einige Bemerkungen über die geognostischen Karten des europäischen Russlands.
Bull. de la Soc. Imp. des Nat. de Moscow 1865 Bd. II.
35. 1866 Eichwald, E. v. Zur Geschichte der Geognosie und Paläontologie in Russland.
ib. 1866 Bd. II.
36. Helmersen, J. n. über Herrn v. Eichwalds Bemerkungen zu den geologischen Karten Russlands.
ib. 1866 Bd. I.
37. 1868 Troitzki, N. Neoscopareckae concariae mucrone-maculatae
in Schonenii europei Cottus rybaceum (mit 1 Karte)
St. Petersburg 1868
(dieselbe Arbeit 1869 in Magazin zur russischen Poesie Ia.)

38. 1870 Kelmersen, J. v. Zweite Ausgabe der geologischen Karte des europäischen Russlands von Murchison, Vermul und Keyserling mit Erläuterung. St. Petersburg 1870-72.
39. Hugffer, A. Über die chemische Constitution der baltisch-silurischen Schichten.
Archiv f. Natur. Lit-, Est- und Kurlands T. Ser. Bd. II Dorpat 1870.
40. 1873 Dimmarsso, J. Bericht über eine Reise nach Böhmen und den russischen Ostseeprovinzen im Sommer 1872. Zeitchr. d. deutd. geol. Ges. Bd. 25 Berlin 1873.
(dieselbe schwedisch: Kgl. Vet. Ak. Förhåndl. N:o 5 Helsingfors 1873)
41. 1876 Lazario, A. Mikroskopische Analyse ostbaltischer Gebirgsarten. Dorpat 1876.
42. 1879 Grewingk, C. Geognostische Karte der Ostseeprovinzen Lit-, Est- und Kurlands. II. Ausgabe. Mit Erläuterungen.
Archiv f. Natur. Lit-, Est- und Kur. T. Ser. Bd. III. Dorpat 1879.
43. Winnigso, J. Rysskij na robojne wojenne nauczne nozdravie o cewyjnych cewach OTBeypprenii u deputacijom ryberii u rozbora Ryberi.
Mysza OTB. Oba zyczelon. g. I COTB. 1879.
44. 1881 Winnigso, J. Cestwenni odz zackysciuts no cewyjnych pozymajic C.-Togertypredki u deputacjoi ryberii.
ib. g. II, 1881.
45. Schmidt, F. Revision der ostbaltischen silurischen Trilobiten mit geognostischer Übersicht des Ostbaltikums.
Alt. I. Mem. de l'Ac. Imp. des Sciences de St. Petersburg
7 Serie Bd. XXX № 1 St. Petersburg 1881.

- 9.
46. 1882 Brögger, W.C. Die sibirischen Stägen 2 und 3
im Kristianiagebiet und auf See. Kristiania 1882.
(vergl. Geol. Före. Förh. 1882 Bd. 8).
47. Schmidt, F. On the Siberian (and Cambrian) strata
of the Baltic Provinces of Russia.
Quart. Journ. of the Geol. Soc. Vol. 38 London 1882.
48. 1884 Holm, J. Bericht über geologische Reisen in
Estland, Nord-Diiland und im St. Petersburger Gouvernement
in den Jahren 1883 u. 1884.
Utg. Mus. Oba g. III 1884.
49. 1886 Müller, J. О наименовании наименований
существующих со временем.
- Пис. СПб. Оба № 82. g. XVII, (Прогодор.) 1886.
50. 1887 Müller, J. Краткое описание прогоходской
геологической экспедиции, произведенной в 1882 г.
в Финляндии и Морландии.
Утг. реал. Ак. наук 1887. № 12.
51. Karpinsky, A. Zur Geologie des Gouvernements
Pskow. Bull. de l'Ac. Imp. des Sc. t. XXXI St. Petersburg 1882.
52. Müller, J. О работе германской в. отряда
наименований существующих в Финляндии.
Jan. Нан. Ак. наук № 82. g. VI 1887.
53. 1888 Schmidt, F. Über eine neu entdeckte unterkambriose
Fauna in Estland.
Mem. de l'Ac. Imp. des sciences VII Sér. T. 36 St. Petersburg
1888
(Referat darüber: Neues Jahrb. f. Mineralogie etc. 1888 S. 71-73)

54. 1889 Müller, P. О результатах геологических экспедиций
на избранную морем 1888 г. Угл. Геол. К.-за № 1 1889.
55. Müller, P. О результатах геологических экспедиций,
избранной морем 1889 г. ib. № 8
56. 1890 Marcol, J. The lower and middle Fauconie in Europe
and North America. The American Geologist Vol. II 1890.
57. Moberg, J. C. Om gränsen mellan undersilur och kambrium.
Geol. Fören. Förh. Bd. XXI Stockholm 1890.
58. 1891 Müller, P. Геологические изыскания, произведенные
морем 1891 г. в Средней Европе и в Америке, включая
места 12 и 26 геологических съездов. (Mit französ. Zusammen-
fassung) Угл. Геол. К.-за № 7 1891 СПб 1891.
59. 1892 Schmidt, F. Einige Bemerkungen über das baltische
Obersilur. Bull. de l'Ac. imp. des sciences de St. Petersburg,
Nouv. serie II (XXIV) 1892. (mit 1 Karte).
60. 1896 Mickwitz, A. v. Über die Gattung Oboleus Erdwald. Mem. de
l'Ac. imp. des sciences. 8 Ser. Bd. IV. St. Petersburg 1896.
61. 1897. Frech, F. Lettaea geognostica. Bd. 2 таб. 1. Stuttgart 1897.
62. Геологическая карта Западной Порсии. Угл. Геол. К.-за. № 8 1897.
63. Schmidt, F. excursion durch Estland.
Guide des excursions du VII^e Congrès géologique
Int. de Russie № 12. St. Petersburg 1897.
64. Schmidt, F. Kurze Übersicht der Geologie der
Umgebung von St. Petersburg.
Guide des excursions du VII^e Congrès géol. int.
№ 34. St. Petersburg 1897.

65. 1898 Lamansky, B. Чембринская и северная
сфера. Узоры изображены (1896-97).
Бюл. Акад. наук и Муз. Риги ж. III. 1898.
66. 1900 Dops, B. Über die Möglichkeit der Erkundung von
Naphthalagerstätten bei Schmarden in Kurland.
Корреспонденц. д. Натур. Вен. Bd. XLIII Riga 1900.
67. 1901 Lamansky, B. Узоры гобелинов из озера Саариско-
рагоокского и озера Мяпуре 1900. (mit französischer
Zusammenfassung).
Уб. Акад. Риги ж. XX 1901.
68. Lamansky, W. Neue Beiträge zur Vergleichung
des ost-baltischen und skandinavischen Unter Silur.
Централ. ф. Мин. Bd. II 1901.
69. 1904 Huene, F.v. Geologische Notizen aus Oeland und
Dalarne, sowie über eine Meduse aus dem Unter Silur.
ib. Jahrg. 1904 p 450-461.
70. 1905 Lamansky, W. Die ältesten silurischen Schichten in Russland
(Stage B). Mem. du Comité Géol. Sov. Serie 8.XX St. Petersburg 1905.
71. 1910-11 Baltische Landeskunde. Riga 1910-11.
72. 1914 Pahlen, A.v.d. Zur Frage der Entwicklung der
kambrischen Schichten in Estland. 21.
Централ. ф. Мин. 1914 S.447.
73. 1911 Bassler, R. S. The early paleozoic bryozoa of
the baltic provinces.
U. S. Nat. Mus. Bull. 77 Washington 1911.

74. 1916 Raymond, R.E. Expedition to the Baltic Provinces of Russia and Scandinavia.
 P.I. The Correlation of the Ordovician Strata of the Baltic Basin with those of eastern North America. Bull. of the Mus. of Comparative Zoology Vol. LVI No. 1916.
75. 1918 Beyrodt, E. und von zur Mühlen, L. Die Bodenschätzungen Estlands. Zeitschr. f. prant. geol. Jahrg. XXVII 1918.
76. Gärtner, C. Über die Ölschiefer in Estland. Braunschweig
77. Koxen, E.v. Estland und die Insel Oest. Der Geologe 1918.
78. 1919 Bexner, H. Rae seinaat ja kauruse, põlewa kiirust. Dorpat 1919.
79. Polyedov, H. G. Птицеминералы южной Финляндии. Сеанс. научн. конф. РСССР. № IV кн. 20 Петроград.
80. 1921 Bexner, H. The Shales Stage of the Ordovician Rocks of NE Estonia. Acta et Commentationes Univ. Dorpat. Ser. II, Dorpat 1921.
81. Scupin, H. Ist der Dictyonemenschiefere eine Trübeablagerung. Zeitschr. d. deutsch. geol. Ges. Bd. 73 Konstanz 6/1921.
82. Winkler, H. v. Über den Umfang und die Abschreibendigkeit estländischer Bodenschätzungen. Mitt. a.d. Geol. Inst. III Greifswald 1921.
83. 1922 Bexner, H. Ülevadde Eesti ordovitsiumi ja siluuriani kohta kaivatset muurimisest. (Habilitationsvortrag) Zeitschrift "Doodus" 1922 № 3, № 4 Dorpat 1922

84. 1922 Windler, H.v. Eestimaa geoloogia. I. Reväl 1922.
85. Windler, H.v. Über die Benennung der Estland aufbauenden Felsenschichten.
Beitr. z. Kunde Estlands Bd. 9 Heft 1-2 Reväl, 1922.
86. Fannikaun, A. Eesti Dictyoneema - kivi murimise tenua tekkimise, vanaduse, levimise ja majanduslike nähtuse kohta. Preisodrift. Manuskript Dorpat 1922.
87. 1923 Bekker, H. Ajaloolise geoloogia operaamat. Tartu 1923.

Historischer Überblick der geologischen Kartenaufnahmen von Estland.

Die geologischen Forschungsarbeiten über Estland und die angrenzenden Silurgebiete Russlands lassen sich, wie H. Becker¹⁾ in neuester Zeit hervorgehoben hat, in vier zeitlich wohl begrenzte Gruppen teilen. In diese Gruppen lassen sich natürlich auch die geologischen Kartenaufnahmen, welche ja die jeweiligen herrschenden Ansichten bildlich festlegen, einordnen.

Die erste Gruppe umfaßt die ältesten Arbeiten bis zum Jahre 1839. In diese Zeitspanne fallen die Arbeiten von Strangways⁽²⁾⁽³⁾, M. Engelhard⁽¹⁾, E. v. Eichwald⁽⁴⁾, Ch. Pander⁽⁶⁾, Engelhard und Utrecht⁽⁵⁾, Hoffmann und Helmerson⁽⁸⁾. In genannten Arbeiten finden wir die ersten Gliederungsversuche der den estländischen Felsuntergrund aufbauenden Schichten und wird auch auf die Ähnlichkeit der estländischen Ablagerungen mit den von Ingemanland, Schweden und Norwegen hingewiesen.

In diese Zeit fällt auch die erste geologische Kartenaufnahme eines Teiles von Estland. Im Jahre 1822 veröffentlicht der Engländer Strangways²⁾ eine geologische Karte im Maßstabe 1:700000 auf welcher auch Nordestland abgebildet ist und hier als Übergangs- oder

¹⁾ Literaturverzeichnis N° 89.

Pleta-kalnstein^{x)} bezeichnet wird. Eine weitere Differenzierung der Schichten in blauen Ton, Chamitten-sandstein und Pleta- oder Orthocerenkalkstein erubrigt sich aus dem Text genannter Abhandlung.

Auf diese folgt 1830 die von M.v. Engelhard und G.W. Ulprecht herausgegebene geognostische Karte der Ostseeprovinzen (Seitenmaßstab 1:1500000). Wie die erste von Strangways, so enthält auch letztere nur eine petrographische Gliederung des Untergrundes, wie Kalkstein, Ton, Sandstein, Geröllsand und Gerölle.

Die zweite Periode von 1839 bis 1858 beginnt mit dem epochemachendem Werke von Murchison⁽¹⁰⁾, "The Silurian System" in welchem die bisher dem Übergangsgebirge zugezogenen Schichten in zwei große Systeme - das silurische und das devonische gegliedert werden. Murchisons Werk findet auch bei unseren Forschern die rechte Würdigung, und Eichwald⁽¹¹⁾ erkennt die estländischen Ablagerungen als silurische, doch begibt er hierbei den Fortum, in der Wenlock und Ludlow-Steppe von England gleichzusetzen. Von bedeutenden Arbeiten aus dieser Periode wären noch die Arbeiten von Eichwald⁽¹²⁾⁽¹³⁾⁽¹⁴⁾⁽¹⁵⁾, Pfeiffer und Pander⁽¹⁶⁾, Sоколов⁽²⁰⁾, Озерский⁽²¹⁾, das große zusammenfassende Werk von Murchison, Verneuil und Graf Keyserling⁽²²⁾, Grewingk⁽²³⁾ und Helmersen⁽²⁴⁾ zu nennen.

Während die ersten geologischen Karten von Strangways und Engelhard und Ulprecht nur ein

x) Pleta vom russischen „плита“ = Platte, Fliese.

petrographisches Bild des Untergrundes geben, sehen wir in den Karten aus der zweiten Periode die geologische Seite schon mehr in den Vordergrund gerückt. Auf der im Jahre 1841 von J. v. Helmersen¹⁾ veröffentlichten „Übersichtskarte der Gebirgsformationen im europäischen Russland“, welche in einem kleineren Maßstabe als Strangways' ist, wird Estland als „silur“ bezeichnet. Im selben Jahre erscheint eine zweite „Übersichtskarte der Gebirgsformationen des europäischen Russlands“, nach Angaben von Murchison, Veneuil, Graf Keyserling, Blasius und Sinowjew von Baron Meyendorff²⁾ angefertigt. Auch auf dieser sehen wir Estland als „silurisch“ bezeichnet.

Die nächste Karte erscheint im Jahre 1845 im Maßstabe 1:5 800 000 als Beilage zu Murchison, Veneuil und Keyserlings³⁾ großem geologischen Werk über Russland. Als Neuerung wird hier das estländische Silur als unteres auf dem Festlande und oberes auf den Inseln Osel und Dago gegliedert.

Zehn Jahre später - 1855 folgt Grewings „Geognostische Karte von Liv-, Est- und Kurland.“⁴⁾ Estland ist auf letzter in 3 Zonen: Unter Silur, unteres und oberes Ober Silur gegliedert.

Mit dem Jahre 1858 beginnt die dritte Periode der geologischen Forschung unseres Gebiets. In diesem Jahre erscheint F. Schmidts⁵⁾ grundlegende Arbeit, in

1) lit. vsg. № 14; 2) lit. vsg. № 15; 3) L. v. № 23; 4) L. v. № 30; 5) L. v. № 32.

welcher zum ersten Mal die Gliederung der estländischen unteren und oberen silurischen Schichten nach Zonen, ihrem Fossilinhalt nach, durchgeführt wird. Auf der dieser Arbeit beigelegten geologischen Karte von Estland im Maßstabe 1:1200000 finden wir 8 Zonen, von welchen 1-3 zum Untersilur und 4-8 ~~zum~~ zum Obersilur gehören. Bald darauf erscheint C. Grevinges „Geognostische Karte von Liv-, Ost- und Kurland“¹⁾ im Maßstabe 1:1200000, welche für Estland wesentlich nichts Neues bringt und mit der vorhergenannten Karte von Schmidt übereinstimmt.

Bock²⁾ führt 1868 Schmidts Schichten ein bei einer für das St. Petersburger Gouvernement durch. Auf der Kartenbeilage ist von Estland nur der nordöstlichste Teil abgebildet und bietet keine Abweichungen von Schmidts Karte.

Auf Grund neuerer Forschungs ergebnisse von F. Schmidt veröffentlicht C. Grevinge³⁾ im Jahre 1879 seine „Geognostische Karte der Ostseeprovinzen Liv-, Ost- und Kurlands“ im Maßstabe 1:600000. Auf dieser Karte sind 8 Formationen mit 17 Gliedern dargestellt. Die Silurformation erhält eine speziellere Gliederung, und es werden statt der Ziffernbezeichnung der Zonen, die Buchstaben A-K eingeführt. Von diesen gelten A-F für das Untersilur und G-K für das Obersilur.

Bis in die neueste Zeit ist Grevinges Karte
1) d. v. № 33, 2) d. v. № 37, 3) d. v. № 42

die größte Gesamtübersichtskarte von Estland geblieben und bedarf^t dringend einer Neubearbeitung.

Auf diese folgt im Jahre 1892 F. Schmidt's⁴⁾ Karte der Verbreitung der baltisch-silurischen Schichten. Sie ist in einem sehr kleinen Maßstabe 1: 2 520 000 angefertigt und sofern von Interesse, da sie das Gebiet vom Ladoga See bis zur Insel Oeland umfaßt und die baltisch-silurischen Ablagerungen in Verbindung mit den schwedischen von Oeland und Gotland bringt - eine Ansicht welche auch heute noch als bestechend angesehen ist.

Zur allgemeinen Orientierung über den geologischen Aufbau des europäischen Russlands, sowie der angrenzenden Baltischen Staaten kann die im Maßstabe 1: 6 300 000 vom Geologischen Comité in St. Petersburg 1897 herausgegebene „Geologische Karte des europäischen Russlands“ dienen.⁵⁾

In die dritte geologische Forschungsperiode unseres Gebiets fallen die zahlreichen Arbeiten von F. Schmidt⁶⁾, sowie Hugffer⁷⁾, welcher als erster sich der chemischen Analyse der Felsarten zuwandte, Togoria⁸⁾, Halm⁹⁾, Mieckow¹⁰⁾, Samansky¹¹⁾ u. a. und zahlreiche Arbeiten paläontologischen Inhalts.

Die vierte Forschungsperiode unserer Ablagerungen, welche mit dem Jahre 1905 beginnt und noch heute nicht abgeschlossen ist, wird durch die grundlegende Arbeit von Samansky¹²⁾, „Die ältesten silurischen Schichten in Russland“ eingeleitet. Diese Abhandlung stellt eine

1) L.v. № 59, 2) L.v. № 62, 3) siehe Literaturverzeichnis; 4) L.v. № 39; 5) L.v. № 41; 6) L.v. № 48; 7) L.v. № 60; 8) L.v. № 67, 9) L.v. № 70.

monographische Behandlung von F. Schmidt's Stufe B dar, und es wird in ihr eine nach streng paläontologischen Merkmalen begründete Zonen gliederung innerhalb dieser Stufe durchgeführt. In unserer Literatur ist es der erste derartige Versuch, dem in der neuesten Zeit noch andere Forstner wie e. P. Raymond¹⁾, N. Pogrebow²⁾ (und) H. Becker³⁾ und A. Tammesann⁴⁾ gefolgt sind.

Für die geologisch-kartographische Darstellung ist diese Forschungsperiode ebenfalls sehr zeichnend, da die ersten geologischen Detailkarten einzelner Teile von Estland erscheinen. Vor allen Dingen gilt das Interesse der Forstner der durch das Vorkommen von Braunkohle ausgezeichneten Kuckerschen Stufe, welche durch den während des Weltkrieges in Russland herrschenden Brennstoffmangel eingehenden Forschungen unterzogen wurde. Die Resultate dieser Arbeiten finden wir in Pogrebows²⁾ Abhandlung über die baltischen Brennschichten niedergelegt. Dieser Abhandlung sind auch zwei geologische Kartenaufnahmen im Maßstab 1:240000 beigelegt. Die erste Karte von Krutikow⁵⁾ umfaßt das Gebiet zwischen Jemelj und Wesenberg, während auf der zweiten von Koslowsky⁶⁾ das Gebiet zwischen Baltijskport und dem gut gelegert dargestellt wird. Beide Karten enthalten viele wertvolle Daten über die Verbreitung der Kuckerschen Stufe und einzelne Teile von Nordestland.

Etwa früher als letztergenannte Kartenaufnahme ist in der Literatur die Karte von C. Gabert⁵⁾ im

¹⁾ L. v. № 24; ²⁾ L. v. № 29; ³⁾ L. v. № 80, 83; ⁴⁾ L. v. № 86; ⁵⁾ L. v. № 76

⁶⁾ L. v. № 29 Jaf. XXVIII
⁷⁾ L. v. № 79 Jaf. XXVIII

Maßstabe 1: 300000 bekannt gegeben worden; sie umfaßt das Gebiet zwischen Wesenberg und Jever und dient ebenfalls zur Darstellung der Auenderschen Stufe.

Aus der letzten Zeitsperiode waren ferner noch die kleinen Übersichtskarten unseres Gebiets von Bassler¹⁾ und Raymond²⁾ zu nennen, welche im wesentlichen mit der von Schmidt herausgegebenen übereinstimmen; gleichfalls mit den älteren Karten übereinstimmen sind die Karten in der Baltischen Landeskunde und in der Geologie von Nolland von H. v. Windeler.

Nach neueren Gesichtspunkten ist die Karte von H. Becker³⁾, erschienen 1923, ^{angefertigt} es ist dies gleichfalls eine gewisse Übersichtskarte unseres Gebiets in kleinem Maßstabe, doch sind die neueren Forschungsergebnisse von Kruckow und Kołodzony auf dieser noch berücksichtigt, und ergibt die Karte für Norddeutschland erhebliche Abweichungen für die Verbreitung einzelner Stufen, wie wir sie auf den Karten von Schmidt und Grawinkel sehen.

Wenden wir uns nun zur geologisch-kartographischen Darstellung der Baltisch-pomeranischen Halbinsel, welche den Gegenstand dieser Abhandlung bildet, und von mir im Laufe des Sommers 1922 geologisch neu kartiert worden ist, so müssen wir die Tatsache feststellen, daß dieses in der Gesamtliteratur doch so gut bekannte Gebiet, welches von den ältesten bis zu den neusten Arbeiten vielfach genannt

1) L. v. № 73; 2) L. v. № 74; 3) L. v. № 87

wird, hinsichtlich des geologischen Aufbaus des Innern
der Hallinsel nicht ^{völlig} richtig erkannt worden ist.
Wir brauchen nur einen Blick auf die geologischen
Übersichtskarten unseres Landes zu werfen, um
uns davon zu überzeugen. Während auf den
von Grunige und Schmidt herausgegebenen Karten die
Baltiackporter Hallinsel als Vaginatae - bzw. Schino-
sphaeritenkalk bezeichnet ist und Schmidt¹ das
Vorkommen der Huckserschen Stufe auf dem Wege
zwischen Baltiackport und dem Gute Leetz fest-
stellt, blieb das Vorkommen der Juweschen Stufe,
mitten auf der Hallinsel, ganzlich bis in die
neueste Zeit ganzlich unbekannt.

Als ich im Sommer 1921 eine kurze Zeit
auf der Baltiackporter Hallinsel geologische Studien
trieb, fand ich in einem Entwässerungsgraben
beim Männiken Gesinde, 2,5 km. südlich von Baltiack-
port am Kreuzungspunkte der Landstraße nach
Reval und dem Wege nach dem Gute Leetz,
typische Stücke der Juweschen Stufe, welche hier
in einer Mächtigkeit von 1 m aufgeschlossen
ist. Damals war mir die obengenannte Arbeit
von Pogrebny noch unbekannt, und ist sie nur
erst später durch Herrn Dr. H. Becker zugänglich
geworden. In dieser Arbeit finden wir auf
der von Koslowski im Laufe des Sommers 1916 und 1917

aufgenommenen Karte des nordwestlichen Estlands ein
Areal von 4-5 km² mitten auf der Halbinsel als
Jewesche Steppe bezeichnet, während letztere freicher
nur bei St. Matthias, 8 km. südlich von Baltijskort,
wo sie eine niedrige Glintterasse bildet, bekannt
war. Im Text der genannten Abhandlung fehlen
jedoch weitere Angaben oder Beweise ~~hierzu~~, welche
das Vorkommen der jeweschen Steppe nach ihrer
Fossilisierung endgültig festlegen würden.

Die Ungenauigkeiten der älteren Kartenaufnahmen
lassen sich auf den Umstand zurückführen, daß
einerseits als Grundlage für diese Karten eines
sehr kleinen Maßstabs gewählt wurden, und anderseits
die topographischen Verhältnisse des Landes auf ihnen
nur mangelhaft dargestellt sind, außerdem auch auf
die nur mangelhaften Aufschlüsse im Innern des
Landes.

Da nur eine planvoll durchgeführte geologische
Landesaufnahme von Estland alle Ungenauigkeiten
der älteren Karten feststellen könnte, müßte eine
solche ^{möglichst bald} in Angriff genommen werden. Als Grund-
lage hierzu wäre zum mindesten die russische
topographische Generalstabskarte im Maßstabe
1:42 000 (die sogenannte Einheitskarte) zu nehmen;
besser noch wären die von den deutschen Okkupations-
gewalten im Jahre 1918 herausgegebenen Meßtischblätter

im Maßstabe 1:25000 zu wählen, da letztere eine viel genauere Einzeichnung der Grenzen der einzelnen Stufen und Zonen gestatten.

Die Resultate meiner auf der Baltisch-pomerischen Halbinsel angestellten Untersuchungen sind im Folgenden niedergelegt, wobei ich für die geologische Kartenaufnahme die russische Einheitskarte benutzt habe.

Die Oberflächengestaltung der Baltischporten Halbinsel.

Die Baltischporten Halbinsel liegt zwischen $59^{\circ}19'5''$ und $59^{\circ}23'$ nördl. Breite und erstreckt sich zwischen $6^{\circ}12'$ bis $6^{\circ}17'5''$ westl. L. von Pulkovo zwischen den Buchtten des Finnischen Meerbusens - Rägerwiek im Westen und Lakepere im Osten der Halbinsel.

Ihrem geologischen Aufbau nach gehört sie zur kambisch-silurischen Schichtenfalte des estländischen Glints, welcher etwas südlicher der Stadt Baltischport seine westlichste Erstreckung auf dem Festlande erreicht. Geringere Glintpartien sind weiter im ~~Fest~~ Westen auf den ehemals zum Festlande gehörigen Inseln Klein und Groß Rogo und auf der Insel Odinsholm anzutreffen.

Morphologisch betrachtet bildet die Halbinsel ein fast ganzlich flaches Land, welches in der Nähe des Dorfes Saareniemi sanft unter dem Meeresspiegel ansteigt und hier eine weite sandige Fläche bildet, welche wohl als eine alte versandete Deltabildung zu betrachten ist. Einiges weiter nordwestlich, in der Nähe der Stadt Baltischport, treten die obersten Partien des Glints, welche dem oberen Teile des Echinospaeritenkalkes gehören, stellenweise unter den vom Meere ausgeworfenen

gerollen und Strandwällen hervor. In der Nähe des Bahnhofs erreicht der Glint schon eine Höhe von 3 - 4 m., steil zum Meere abfallend. Von hier aus steigt der Glint immer mehr nach Norden zu an, fällt auf seiner ganzen Streckung steil und im obersten Teil vielfach auch überhängend zum Meere ab bis er seine Maximalhöhe von 25 m. an der Baltischen Spitze, dem nördlichsten Punkte der Hallinsel, erreicht. Von dieser Stelle liegt der obere Glintrand nach Südosten um und verläuft langsam an Höhe abnehmend bis Harsalo, wo er wieder in sanfter Rösung zum Meere abfällt.

Auf der Westseite der Hallinsel läßt der Glint nur einen schmalen Küstensaum frei, der stellenweise nur bei ruhiger See passierbar ist. An seinem Fuße wundert man hier bis etwa unterhalb des Seehafens von Packerort gelangen. Von dieser Helle bis zur Baltischen Spitze fällt der Glint senkrecht und überhängend zum Meere ab und läßt keinen Küstensaum frei. Überall an seinem Fuße finden sich gewaltige Schuttbergen und herabgestürzte Felsblöcke, welche das reiche Fossilienmaterial liefern.

Während auf dem Westufer der Hallinsel die Tätigkeit der Meereswogen keine Spuren gesetzt sind,

und diese bei starker Brandung fast überall an den Füßen des Halkinaballs heranreichen und seine untersten Schichten unterspielen, sehen wir auf der Ostseite der Halkinaal ein wesentlich anderes Bild. Der Glint fällt hier steil und überhängend von der Balkinken Spitze bis $\frac{1}{2}$ km. südöstlich von dieser zum Meere ab, bis zu der Helle, wo die abfließenden Regen- und Schmelzwässer eine kleine Schlucht in den Fels eingeschnitten haben.

(Im weiteren werde ich diese Stelle noch mehrfach aufführen und sie kurzweg als „Taleinschnitt“ bezeichnen). Von diesem Taleinschnitt bis zu 1 km östlich vom Gute Leetz fällt der Glint in zwei Terrassen zum Meere ab. Besonders aber ist diese Terrassierung beim Tößipere-Groind und beim Gute Leetz zu sehen.

Die untere Glintterrasse, die eine Maximalbreite von $\frac{1}{2}$ - $\frac{3}{4}$ km beim Gute Leetz erreicht gehört dem Oblausandschiefer bzw. Dictyonema-schiefer an, welche von einer dünnen Humusdecke oder Landen und niedrigen Dinen, wie beim Gute Leetz, bedeckt sind. Die obere Terrasse zeigt alle Schichten vom glauconit-sand bis zum älteren Gehinospaeriten Kalke.

An der Grenze der unterkarbonischen Schichten und der quartären Bildungen sehen wir ^{zwischen dem} beim Gute Leetz und Tößipere etwa 1-2 m über dem Meeresspiegel

ein röthliches bis rotblaues stark eisenoxydhaltiges großes Gericke Konglomerat auftreten. Dieses Konglomerat ist nicht mit dem an der Basis des Obolussandsteins steckenden zu verwechseln. Es besteht aus den vom Meere abgeschliffenen und abgerundeten Bruchstücken aller am Glint aufgeschlossenen Schichten, zwischen welchen auch riesige erratische Blöcke eingebettet sind und findet sich über der Schwefelkiesbank, welche im Hangenden des Obolussandsteins auftritt. Der Eisengehalt dieses Konglomerats wird wohl zum größten Teil aus der Schwefelkiesbank stammen und durch die Einwirkung des Meerwassers auf letztere bedingt sein.

Der oberste Glintrand zeigt ein eigenartliches regelmäßiges zackiges Gepräge, welches von den durch den ganzen Komplex der Kalkschichten bis zu den in unterlagernden Sandsteinen hinabreichenden regelmäßigen parallelen Spalten- und Kluftzügen herrührt.

Diese Erscheinung ist zuerst von J. v. Helmersen¹⁾ auf der Baltischen Halbinsel studiert worden und reicht in der gleichen Regelmäßigkeit im gesamten Kalksteingebiet des estländischen Glints wieder.

Wie Helmersen es ganz genau gezeigt hat, handelt es sich hier um zwei Hauptspalteungsrichtungen im Kalkstein, welche sich unter Winkeln von 110° - 120° schneiden und einen nordostlichen Zsg.

NW - SO Verlauf zeigen. Auf der Halbinsel sind diese Klüfte oft mit Kalaspat ausgefüllt, und finden sich außerdem noch kleine Pyrit- oder Bleiglanz-Aristalle. Vielfach sind die Spalten und mit tonigem oder sandigem diluvialem oder rezentem Material ausgefüllt.

Diese Spalten und Klüfte sind es hauptsächlich, welche die Abtragung sehr erleichtern, und das Herauslösen ganzer Felspartien zum Meer bewirken, mehr noch als die Auskühlung und Unterspielung der Basis des Glints durch die Meereswogen. Das Oberflächenwasser dringt auf diesen Spalten und Klüften in die Tiefe, wo es dann als Quellwasser über den mergeligen Lagen des Glaucorit-Kalzes wieder zu Tage tritt, anderseits herzt es auch die Verwitterung des Gesteins an den Klüften, namentlich wenn es in ihnen gefriert. Auf der Westseite der Halbinsel macht sich diese Wirkung stärker bemerkbar, da wir gesagt, beide Faktoren - die Unterspielung des Untergrundes und durch die Meereswogen und die Wirkung des Wassers in den Klüften in Frage kommen. Auf der Ostseite hingegen ist der erste Faktor durch die morphologisch gekennzeichneten Terrassenbildungen des Glints mehr oder weniger ausgeschaltet, anderseits ist die Bohrung des Glintes eine geringere

als auf der Westseite, und ^{es ist} auf den Schuttbalzen am Fuße der oberen Glintterasse eine stärkere Vegetation zu beobachten ist als dort. Daher ist auch die Abtragung auf der Ostseite der Hallbinsel eine viel geringere und ist dieser Prozess östlich von Korsalo, wo wir keinen Glint mehr haben und das Land in sanfter Böschung zum Meere abfällt, zum Hillland geworden.

Wenden wir uns nun zur Oberflächengestaltung des Innern der Hallbinsel, so sehen wir, wie es im Vorhergehenden schon gesagt worden ist, ein fast ebenes Land vor uns, welches vom Glintrande zur Mitte der Hallbinsel sanft ansteigt und die größte Höhe von 14,6 Fäden über dem Meeresspiegel beim Dorfe Leet erreicht.

Interessant ist auf der Hallbinsel das Vorkommen von Strandwällen der Litorinazeit, welche alle einen parallelen NW - SO Verlauf zeigen und eine Höhe bis zu 2 m. erreichen. Eine dieser Strandwälle beginnt etwas südlich ^{von} der Baltischen Spitze und zieht hart am obersten Glintrande bis zum Huga-Gesinde und von hier in einer Entfernung von 200 m - an der Stadt Baltijschopf vorüber und erreicht fast die Eisensbahnlinie. Zwei andere Strandwälle ziehen hart an der Isohypose 12 der Karte, sie zu beiden Seiten umsäumen

der eine nordöstlich vom Dorfe Leetz beginnend bis ungefähr zum Dorfe Padre, der andere 1 km südostlich vom Seuchtwine beginnend bis etwa zum Rogatka-Gebinde. Das Material dieser Strandwälle besteht aus zum Teil recht großen Kalkegerölle, vom Alter der auf der Baltischporter Halbinsel austretenden Kalke, außerdem aus Guss und Sand sowie nordischem Geschiebematerial. An Fossilien fand ich hin und wieder Exemplare des ~~des~~ *Cardium edule*.

Die Anordnung der Strandwälle gestattet den Schluß zu ziehen, daß die Baltischporter Halbinsel zur Siccuszeit zuerst als Klippe und später als kleine Insel aus dem Meere hervorragte und zwischen Saarei und dem Südufer der Lakeperebucht eine Meeresverbindung bestand.

Außer diesen Strandwällen finden wir überall auf der Halbinsel verstreut, namentlich bei Packerort, zwischen dem Mainzen Gebinde und dem Geest Leetz und am Strand bei Leetz eine Menge von zum Teil gewaltigen errakten Blöcken, welche ja der gerauten Landschaft von Niedersachsen das eigentümliche Gepräge geben.

Die Bodenschafftheit auf der Halbinsel ist eine ärmliche, da oft nur eine dicke Humus-
[dose]

direkt auf den Kalken steht. Sumpfiges Gelände findet sich recht oft über der Kalkerschen Stufe, was auf den Tongehalt ^{also der} ~~und die~~ mergeligen Beschaffenheit der in aufbauenden Kalke beruht.

Die Nomenklatur der estländischen kambrisch-silurischen Ablagerungen.

Für die Bezeichnung der estländischen kambrisch-silurischen Ablagerungen ist bis in die neuere Zeit die von Akademiker F. Schmidt in zahlreichen Schriften und Abhandlungen begründete Nomenklatur gültig gewesen. Schmidt teilte unsere Ablagerungen in Stufen ein, welche er mit den Buchstaben des lateinischen Alphabets von A - K benannte ~~gleichsetzte~~. Während mit A die kambrischen Ablagerungen bezeichnet werden, gelten B - F für das Untersilur (Ordovizium) und G - K für das Obersilur (~~Silur~~). Kleineren stratigraphischen Einheiten kennzeichnete durch Ziffern ~~ende~~ ^{stratigraphische Einheiten kennzeichnete} Längen setzte er Buchstaben- und Indices gleich, wie C_{1a}, C_{1b}, C₂ u.s.w.

Außer dieser Bezeichnungsweise ist noch eine zweite im Gebrauch, welche sich auf die allerältesten Arbeiten von Strangways,¹⁾ Engelhardt und Ullstadt,²⁾ Pander³⁾ u.a. zurückführen lässt, diese trägt einen gewissen Charakter und benennt die einzelnen Stufen nach drei Prinzipien 1) nach ihrem lithologischen Bestande (Glaucoritkalk, Glaucosuitzalk) 2) nach den Fossilien (Vaginatenkalk, Echinospaeritenkalk) und 3) nach Ortsnamen, an welchen die Stufen am besten entwickelt sind (Kuckersche Stufe, Jewoche Stufe), wobei letztere Bezeichnungsweise für alle Stufen, 1) d.v. № 2 u. № 3, 2) d.v. № 5 3) d.v. № 6

die am Glint nicht vorkommen und weiter im
Lande auftreten im Gebrauch ist.

Gegen diese in der gesamten Literatur
fest eingebürgerte Bezeichnungsweise unserer
Ablagerungen, wenden sich in der ältesten
Zeit ~~der Amerikaner~~ S. P. Raymond¹ und H.
Becker². Sie bringen eine vereinheitlichte Bezeichnungs-
weise für die einzelnen Steifen nach Ortsnamen ~~an~~,
in Vorschlag, und zwar den Ortschaften an welchen
die besten Aufschlüsse der betreffenden Ablagerungen
zu finden sind.

Die Buchstabenbezeichnung von Schmidt ergibt
nach beiden Forschern eine Unbequemlichkeit, da
nach den neuesten Forschungsergebnissen der
Buchstabe A, der nach Schmidt das Kambrium
bezeichnet, in zwei großen Formationen dem
Kambrium und Unterkalke (Ordovicium) zersplittet
würde. Daker behalten beide Forscher die Buchstaben-
bezeichnung nur untergeordnet bei.

Die gewünschte Vereinheitlatur stößt nach beiden
Forschern auch auf Schwierigkeiten, da die gewählten
Namen für einzelne Ablagerungen nicht ganz
zutreffend gewählt worden sind, - da z. Bsp. der
Glaucostrola stellenweise Schichten führt, welche
keine Spur von Glaucostrolern aufweisen und
die Bezeichnungen Vaginaten- bzw. Orthoceraskalke und

Eckinosphäriteskalk von Schmidt nach Fossilien benannt worden sind, welche in weit höheren Ablagerungen ebenfalls oft sehr häufig vorkommen.

Aus diesen Gründen schlagen E. P. Raymond und H. Becker folgende Bezeichnungen für die einzelnen Stufen des Unterordoviziums (Unterordovizium) vor:

Reraler Stufe (Raymond u. Becker) = Oberer Teil der Eckinosphäriteskalkes C16.

Dickowiki Stufe (Raymond) oder Asserinsche Stufe (H. Becker für Ostland) = Unterer Teil des Eckinosphäriteskalkes
Oberer Kalkstockschicht C1a.

Hundasche Stufe (Raymond u. Becker) = Vaginatenskalk B₃

Walchow Stufe (Raymond) oder Baltischporter Stufe (H. Becker für Ostland) = { Glaucoritskalk B₂
Glaucoritsand B₁

Packerorter Stufe (Raymond u. Becker) = { Dictyonemalschiefer B₃
Oholussandstein B₂ } B₂
Oholus Konglomerat B_{1a}

Im liegendem: ~~Unteres~~ Kambrium

Für die höheren Stufen fallen die Bezeichnungen beider Forscher mit denen von Schmidt zusammen; Abänderungen erfahren aber die Grenzen einzelner Stufen, welche aus faunistischen Gründen bald höher oder tiefer festgelegt werden.

Ganz unterschieden möchte ich mich an dieser Stelle gegen eine Zweikanierung ein und derselben stratigraphischen Einheit aussprechen, da diese nur ein belangloses Moment für die Normadaten der Ablagerungen ergibt und zum Kuriösen führt, ^{dass} die Stufe des Glaucoritsandes und Glaucoritskalkes westlich von Hamburg als Baltischporter Stufe und

~~bis~~ öftlich davon als Dukowitsche Stufe bezeichnet werden müsste. Anderseits enthalten die Bezeichnungen Glaukonitsand und Glaukonitkalk, da letztere durch ihre Glaukonitfehlung ausgezeichnet, ^{und} wenn manchmal in ihnen auch gлаukonitfreie Lagen oder Schichten vorkommen, doch eine präzise Charakterisierung dieser Ablagerungen, und ^{es} wäre eine Bezeichnung wie Stufe des Glaukonitsandes und -kalkes entschieden vorzuziehen.

Dasselbe gilt auch für den Vaginatenkalk, dessen häufigstes Fossil ~~der~~ ^{des} *Eudoceras vaginatum* Schloth. ist, das stellweise massenhaft in ihm vorkommt. Es ist mir nicht bekannt, daß ~~der~~ ^{des} *Eudoceras vaginatum* in höheren Ablagerungen gefunden worden ist, und es liegt daher kein Grund vor eine neue Bezeichnung dieser Stufe beizulegen, aus mehr der Raymonds und H. Beckers Klassische Stufe in der Begrenzung vollkommen mit F. Schmidt's Vaginatenkalk (B_3) zusammenfällt.

Was nun den Echinospaeritenkalk betrifft, so möchte ich mich vorläufig gegen eine Gliederung derselben in zwei selbständige Stufen aussprechen und halte daher F. Schmidt's Einteilung in den unteren (C_1a) und oberen (C_2) Echinospaeritenkalk aufrecht, die von P. G. Raymond durchgeführte Zweiteilung des Kalkes in die Dukowitsche (= ältere) Stufe H. Beckers und Renvale Stufe auf Grund lithologischer und faunistischer

Merkmale beruht meiner Auffassung nach mehr auf faziellen Unterschieden innerhalb des Schinosphaeritenkalkes. So stellt Raymond¹⁾ die sog. „Obere Linsenschicht“ westlich von Reval an die Basis der Revaler Stufe, während östlich davon sie die Basis der Dubowizki Stufe vorstellen soll.

Als leitend für den unteren Schinosphaeritenkalk (Dubowizki Stufe) gilt Raymond²⁾ folgende Faunisten an: *Schinosphaerites aurantium*, *Clytambonites ascendens*, *Poraambonites aequirostris*, *Chaomops nasuta*, *Cerasurus exsul*, *Illaenus tauricornis*, *Asaphus cornutus* und *Asaphus Kowalewski* aa. Von diesen Formen kommt *Chaomops nasuta*, *Illaenus tauricornis* und *Asaphus Kowalewski* in der unteren ob. Linsenschicht auf der Baltischen Kalkinsel vor, während *Clytambonites ascendens*, ²⁾ *Poraambonites aequirostris* und *Schinosphaerites aurantium* von mir im oberen Schinosphaeritenkalk derselbt festgestellt worden sind.

Wenn wir die Gattung *Schinosphaerites* aus halten, da sie für den gesamten Komplex des Schinosphaeritenkalkes charakteristisch ist, so ergibt sich die Frage in wie weit z. B. Raymonds Auffassung des verschiedenen Alters der oberen Linsenschicht östlich und westlich von Reval als berechtigt erscheint.

Die Tatsachen sprechen dafür, daß die obere Linsenschicht einen durchgreifenden lithologischen

V.a.a.O. S. 196; 2/a.a.O. S. 197

und faunistischen Horizont darstellt, welcher keineswegs irgend welche geologische Altersunterschiede zulässt, ^{da} reinerlei Sedimentationslücken zwischen der Linsenschicht und dem folgenden Zechinosphaerite-Kalk festgestellt worden sind, welche keine deutliche Abgrenzungen zweier selbständiger Steppen zulassen würden, und ist innerhalb des Zechinosphaerite-Kalkes eine westliche dolomitische Fazies und eine östliche Kalkfazies zu unterscheiden.

Aus der geologischen Literatur lassen sich viele Beispiele anführen, welche die Berechtigung der von F. Schmidt angewandten Terminologie stützen. Wir brauchen nur einen Blick in die Lehrbücher der Geologie von Credner oder Kayser zu werfen und eine Menge von Beispielen ^{zu} finden. Hier möchte ich nur einige charakteristische Beispiele herausgreifen. So ist der unterdevonische Spirifer-Sandstein des Hanges nach der Gattung Spirifer benannt worden,¹⁾ während diese vom Oberöller bis zum Perm vorkommt und einzelne Steppen des rheinischen Unterdovons nach Spirifarten benannt werden.²⁾ Ein weiteres Beispiel wären die Terebratula-Räume³⁾ aus dem unteren Muschelkalk, welche nach den massenhaft in ihnen auftretenden Terebratula (*Coenothyris*) vulgaris Schloth. benannt worden sind, während die Terebratula vulgaris Schloth. als leitend für den ganzen Muschelkalk gilt.

1) vgl. Credner, Lehrbuch der Geologie Leipzig 1912 S. 430

2) ib. S. 429.

3) ib. S. 527-529.

Viele Beispiele lassen sich noch aus der Jura- und Kreideformation bringen, wo einzelne Stufen und Zonen nach Ammoniten benannt werden, wobei letztere oft nur für eine lokale Gliederung in Frage kommen und anderwärts in höheren oder tieferen Ablagerungen auftreten.

Die Benennungen für die einzelnen Stufen oder Zonen können natürlich nicht ein volles Charakteristiken der betreffenden Ablagerungen enthalten und werden wohl stets nur ein unvollkommenes Kriterium bieten. Meines Erachtens ist daher doch besser ältere in der Gesamtliteratur fest eingebürgerte Bezeichnungen beizzuhalten, auch wenn sie nicht immer ein vollkommenes Kriterium der Ablagerung bieten, als neue Namen zu schaffen, welche ja auch nicht mehr als einen zufälligen Wert enthalten.

Die Grenze der kambrischen und silurischen Formation in Estland.

Nach den älteren Auffassungen von F. Schmidt gehören alle unsere Ablagerungen vom Blauen Ton bis zum Dictyonemaschiefer zum Kambrium, während das Unter Silur erst mit dem Glaucorit-sand beginnt. Das Kambrium ist nach ihm bei uns als unteres (Blauer Ton bis sog. Fucoidensandstein) und oberes (Obolussandstein und Dictyonemaschiefer) entwickelt, während das mittlere Kambrium fehlt.

In Schweden gelang es Moberg¹⁾ im Dictyonemaschiefer Trilobiten zu entdecken, welche eine lokale Verwandtschaft zu untersilierten Arten zeigen, was ihn zum Schluss führte, den Dictyonemaschiefer an die Basis des Untersilurs zu stellen. Ein anderes faunistisches Moment sprach auch für die Einordnung des Dictyonemaschiefers ins Untersilur, nämlich das Erstauftreten der Graptolithen in letzterem.

Auf den engsten Zusammenhang des Dictyonemaschiefers mit dem darunterliegenden Obolussandstein haben bei uns schon A. Mickwitz²⁾ und F. Schmidt³⁾ hingewiesen und ebenfalls auf die Notwendigkeit beide in einer Stufe zu vereinigen, in Folge haben jedoch beide es unterlassen zu tun.

Bei uns erkannte W. Lamansky³⁾ als erster
1) L. v. № 57; 2) L. v. № 60 S. 30; 2) L. v. № 49 S. 20; 3) L. v. № 70, Tabelle 5. 104/105

daf^s die Grenze des Kambriums und Unterkimmers
an die Basis des Obolussandsteins zu versetzen
sei. Zu denselben Schlüssen kommt S. P. Raymond,
welcher, ebenfalls wie Samansky, die Auflagerung des
Obolussandsteins und Dictyonemenschiefers auf dem
liegenden vom Petersburger Gouvernement im Russland
bis Schweden verfolgt.

In Estland findet sich ~~auf~~ an der Basis
des Obolussandsteins ein großes Geröllkonglomerat,
welches aus ~~et~~ großen Sandsteinzöllen des
darunterliegenden petrifizierten Quarzsandsteins besteht
und durch ein stark eisenoxydhaltiges kieseliges Zement
miteinander verknüpft ^{ist}. Sehr schön ist dieses
Konglomerat an der Baltischen Spitz bei St. Petersburg
aufgeschlossen. Auch bei Narva und Jamburg ist
dieses Konglomerat, sowie Erosionserscheinungen im Liegenden
des Konglomerats zu beobachten.

Während in Estland der Obolussandstein auf
der stark erodierten Oberfläche des Quarzsandsteins
aufgelagert ist, wies Harpinusy¹⁾ im Jahre 1887 nach,
dass im Plessauoden Gouvernement bei Kunizy an
der Dowat, wo die unterkimmerlichen Schichten wieder
zu Tage treten, der Obolussandstein direkt auf
dem Blauen Ton liegt.

In Schweden greift, wie Samansky²⁾ und Raymond³⁾
es zeigen, der Obolussandstein und bzw. der Dictyonemenschifer

1) L. V. № 57

2) a. o. O. S. 193 ff. 3) a. o. O. S. 227.

transgredierend über untere, mittlere und obere kambrische Schichten über, was zum berechtigten Schluß führt, daß zu Ende des Kambriums eine weitgehende Meerestransgression im baltischen Gebiete stattgefunden hat, deren Strandfazies wohl das vielfach erwähnte Obolus Konglomerat ist.

Auch von faunistischer Seite lassen sich noch verschiedene Tatsachen aufstellen, welche die Annahme stützen, daß das Obolus Konglomerat als Basis des Untervisors ist. Oben erwähnt ^{ist} einen der faunistischen Gründe, welche die Forster bewegen den Dictyonemackifer an die Basis des Untervisors zu stellen, und zwar das Erstauftreten der Graptolithen in diesem, wodurch alle Graptolithen auf das Silur beschränkt werden. Im Sommer 1921 ist es mir gelungen ^{in Horo bei Riga} aus im Obolussandstein und in den mit diesem wechseltlagenden Schieferlagen Graptolithenreste festzustellen.

Bassler¹⁾ führt aus dem estnändischen Obolussandstein die älteste bekannte Bryozoenart - die Heteronema princeps Bassl. an, was auch für die Begründung ^{Tatsache} der spricht, den Obolussandstein ins Untervisor zu versetzen, da letzteres analog dem Erstauftreten der Graptolithen nun auch durch das Erstauftreten der Bryozoen gekennzeichnet wird.

Außerdem werden alle bei uns bekannten Obolusarten auf das Untervisor beschränkt.

Trilobiten ~~aber~~, welche eine Parallelisierung mit den

¹⁾ L. v. № 73 S. 10, 57.

schwedischen mittel- oder oberkambriischen Schichten
eventuell gestossen werden, sind in unserem
Sandstein überhaupt nicht gefunden worden.

Aus allen oben angefuhrten Gründen scheint
es meinesseits auch richtig die Grenze des
Untersilens an die Basis des Oktaeosandssteins
zu versetzen und dieses ist in neuester Zeit auch
von H. Becke¹ und A. Tammekann² durchgeföhrt
worden.

Die stratigraphischen Verhältnisse der Baltisch-porter Halbinsel.

Die Baltisch-porter Halbinsel hat seit den ältesten Anfängen der geologischen Erforschung unseres Landes von sämtlichen Forschern eine besondere Beachtung erfahren, denn wohl nirgends sind in Estland so wundervolle fortlaufende Aufschlüsse vorhanden, wie hier am Glatzabfall. Wir können geradezu von einem zusammenhängenden geologischen Profil von der Baltischen Spitze bis zur Stadt Baltijskport sprechen, in welchem sämtliche Glieder vom kambrischen Quarzsandstein bis zum Echinospaeritenkalk aufgeschlossen sind. Auch auf der Ostseite der Halbinsel finden wir sehr schöne Profile und Aufschlüsse, wenn auch nicht so vollkommen wie auf der Westseite.

Einige geologische Erscheinungen unserer Ablagerungen sind zuerst auf der Baltisch-porter Halbinsel studiert worden. Auf eine dieser Erscheinungen - die regelmäßige Zerkleinerung unserer Kalke, welche von J.v. Helmersen festgestellt worden ist, habe ich im vorhergehenden hingewiesen, anderseits hat derselbe Forscher die ersten zahlenmäßigen Beträge über das Einfallen unserer Schichten¹⁾ von der Baltisch-porter Halbinsel erhalten, welches nach ihm

15 Fuß auf eine Werst beträgt. Ein Verhältnis, welches dem tatsächlichen sehr nahe kommt.

Alle Schichten zeigen auf der Baltischporösen Halbinsel ein NW-SE-Streichen, und ein schwaches Einfallen nach SWSS.

Genaue Resultate über die Streichrichtung können wir am Ausstrich der Schwefelkiesbank im Hangenden des Obolussandsteins feststellen, da diese zu beiden Seiten der Halbinsel das Meeressniveau erreicht - auf der Westseite etwa 1,5 km südlich von der Baltischen Spurze, dort wo der einzige Weg zwischen Huga und dem Leuchtturm von Paeckeroort zum Meere führt und auf der Ostseite etwas südostlich vom Geite Seef.

Das Einfallen ergibt sich rechnerisch aus dem des Dictyonemuschiefers - von 1° ~~vom~~ der Nordspitze der Halbinsel bis zu der festgelegten Streichrichtung und von 14° von letzter bis zum Ausstrich des Dictyonemuschiefers im Meeressniveau von Huga bis etwa Kersalo.

R. Das Kambrium.

Von den kambrischen Ablagerungen ist auf der Baltisch-pomeranischen Halbinsel nur das oberste bei uns bekannte Glied - der petrefactenleere Quarzsandstein (sog. Fucoidensandstein von F. Schmidt) an der Nordspitze der Halbinsel aufgeklaut.

In einer älteren Arbeit von Engelhardt finden wir Angaben über anklopfenden Blauen Ton auf der Halbinsel, doch weist Bickelwald¹⁾ im Jahre 1840 nach, daß Engelhardt wohl irrtümlicherweise die im Glaukonia sande stellenweise auftretenden grau-grünen Ton einlagen für den Blauen Ton angesehen hat.

Der Quarz = Der Quarzsandstein ist kein ~~reiner~~ sandstein. fast ganz reiner, weißer oder hellgrauer in seinen obersten Lagen leicht hellgelber, feindörniger Sandstein. Er besteht aus kleinen abgerundeten Quarzkörnchen, welche durch ein kieseliges Zement mit einander verbunden sind. Verhältnismäßig ist er weich, doch finden sich auch härtere Lagen, welche sich nicht so leicht zwischen den Fingern zerreiben lassen.

Ausgezeichnet ist er durch seine gänzliche Fossilfreiheit, welche es erlaubt, seine geologische Alter präzise festzulegen. Früher ist er von F. Schmidt²⁾ nach seinem lithologischen Bestande dem unterdruckirischen schwedischen Fucoidensandstein

1) L.v.N. 11. 2) L.v.N. 63 S. 3

gleichgestellt worden. Nach der Auffassung von
H. Becker¹⁾ ist er jedoch als kontinentale Fazies
der schwedischen mittleren - und oberkambrischen
Schichten zu betrachten, welche bei uns völlig fehlen.
Auf den kontinentalen Charakter einer Gletscherung,
bei welcher auch der Wind eine gewisse Rolle gespielt
hat, weist auch Prof. H. Scupin²⁾ hin. Interessant
sind ferner einige mündliche Angaben, welche mir
von H. v. Winkler, über im Quarzandstein bei Packerort
~~von ihm~~
gefundene Tropfenrisse, Abdrücke v. fossiler Regentropfen
und Dreizanter, übermittelt worden sind. Leider
ist es mir selbst nicht gelungen in den Aufschlüssen
bei Packerort etwas Derartiges zu finden, so bestätigen
diese Funde zusammen mit den so gut auf
der Baltischporter Halbinsel zu beachtenden
Wellenfurchen oder Ripple-masen im Quarzandstein
den kontinentalen Charakter seiner Bildung.

Auf der Baltischporter Halbinsel ist der
Quarzandstein nur an der Nordspitze der Halbinsel
bis zu einer Mächtigkeit von 3,75 m. ^{bis 4,25 m,} an der Baltischen
Spitze aufgedeckt. Auf der Ost-Westseite der
Halbinsel treten die obersten Schichten des
Quarzandes etwa unterhalb des Seecharters
unter den Geröllansammlungen am Strand
zu Tage. Von hier aus steigt er im Glintprofil
an und erreicht an der Nordspitze der

¹⁾ L.v. 1883
²⁾ L.v. 1881 S. 154

Halbinsel die erwähnte Maximalmautigkeit der zu Tage tretenden obersten Lagen. Etwa südlicher des Taleinschnitts auf der Ostseite erreichen seine obersten Lagen wieder das Meeresniveau.

Im Taleinschnitt sehen wir folgendes Profil des Quarzsandsteins:

Im Hangenden: Oholus Konglomerat.

Gelblich-grauer, feinkörniger Sandstein 2,15 m.

Hellgrauer, fast weißer Sandstein bis zum 2,10 " + Meeresniveau.

Die gelbe Farbe seiner obersten Lagen, röhrt wahrscheinlich von seinem geringen Bestande an Eisenoxyd her, welches aus dem auf ihm liegenden stark eisenoxydhaltigen Oholus Konglomerat durch Pickewässer ihm zugeführt worden ist.

An Einzelkissen im Sandstein fand ich vereinzelte kleine Schreppelkies- und Tonkullen in seinen untersten Lagen.

Erwähnt sei noch, daß die Baltiobaltische Halbinsel den westlichsten Punkt in Estland darstellt, an welchem kambrische Ablagerungen zu Tage treten.

B. Das Untersilur (Ordovizium).

Auf der Baltisch-germanischen Halbinsel ist die untersilurische Schichtenfolge vom Obolus Konglomerat bis zur Jurasche Stufe entwickelt. Während alle Ablagerungen bis zum Oberen Schimorphoarenkalke am Aufbau des Glintes teilnehmen, finden sich die Huddersische und Jurasche Stufe mitten auf der Halbinsel.

Das Obolus- Konglomerat. Das tiefste Glied unserer unter-silurischen Ablagerungen - das Obolus Konglomerat, liegt auf der stark erodierten Oberfläche des Quarzsandsteins. Die ersten Beschreibungen dieses Konglomerats finden wir bei Sodakov¹⁾ und Osserdy²⁾.

Das Konglomerat ist von einer wechselnden Mächtigkeit von einigen Centimetern bis zu 1,5 m. und besteht aus kleinen bis zu 1,5 m im Durchmesser betragenden gewaltigen Sandsteinblöcken aus dem darunterliegenden Quarzsandstein, welche durch ein rotbraunes bis röthliches stark eisenoxydhaltiges Cement miteinander verklebt sind.

Außer diesen Gerölle finden sich noch viele kleinere ^{sehr feinkörnige} dunkelbraune bis schwarzbraune, sehr feste, flache Sandsteingerölle welche einen Durchmesser von 15 cm erreichen und eine Höhe bis zu einigen Centimetern. Im Dicke zeigen ^{diese Gerölle} daß sie aus

1) L.v. N° 20 2) L.v. N° 21, vergl. auch A. Kuyffer L.v. N° 39 und Meissner L.v. N° 60 S. 31ff. und Raymond a.a.O. S. 186.

winzigsten Quarzkristallchen aufgebaut sind, welche durch ein schwefelkieshaltiges Zement miteinander verankert sind. Aussteckend sind mir derartige Bildungen aus Estland nicht bekannt, und ist es daher sehr wahrscheinlich, dass noch jüngere Bildungen als der kambriische Quarzsandstein bei uns zur Ablagerung gelangt sind, und diese dann später der Erosion unterlagen. In diesen Gewöllen fand ich auch kleine Kalzopaträusen und Dolomitkristalle, während es mir nicht gelungen ist in ihnen irgend welche organische Reste festzustellen, welche einen Aufschluss über ihr Alter gestatten würden. Diese Frage wäre durchaus wert geprüft zu werden, da wir dann ^{vielleicht} Richter das geologische Alter und die Stellung des Quarzsandsteins ermitteln könnten.

In Mineral einclusen des Konglomerats waren kleine Kalzopaträusen, sowie vereinzelt Dolomitkristalle und kleine braubitumeneiche Tonknollen im Zement zu nennen.

An Fossilien finden sich stellenweise massenhaft Bruchstücke von Obalusschalen.

Die besten und mächtigsten Aufschlüsse des Konglomerats finden sich auf der Westseite der Halbinsel - unterhalb des Seechterns, ferner an der Baltiakronenspitze. Auf der Ostseite der Halbinsel ist das Konglomerat allgemein

schwerer in den Profilen festzustellen und erreicht im Profil des Taleinschnitts eine Mächtigkeit von nur 0,20 m.

Der Obolus= Auf das Obolus Konglomerat folgt der Sandstein, eigentliche Obolussandstein (A26), welcher hier (A26) gewöhnlich mit einer ganz dünnen bis 15 cm. mächtigen Tonschieferlage, von grau-brauner Farbe, beginnt. In seinem unteren ^{Teile} Lagen wechselt der Sandstein sehr stark mit dünnen bis einige Centimeter mächtigen grauen bis braunlich-grauen Tonschieferlagen, welche bald auf eine längere Erstreckung im Profil zu verfolgen sind oder nur flache linsenförmige Einlagerungen und schwanken im Sandstein bilden.

In seinen unteren Lagen ist der Sandstein reich, hellgelb bis braunlich gefärbt und zeigt keinerlei fossile Überreste. Nach oben nimmt die Wechsellagerung des schiefer Sandsteins mit dem Schiefer ab, er wird fester und ist stellenweise sogar sehr fest zu nennen. In den oberen Lagen des Obolussandsteins finden wir auch vereinzelt auftretende Exemplare von *Obolus apollinis* Eicker. Der oberste Teil des Sandsteins ist recht grobkörnig, rot bis röthlich-braun und enthält zahlreiche Bruchstücke von Obolusschalen. In diesem Teile des Obolussandsteins finden sich

Häufig hasel- bis wallnugroße, hellgrau, weiche
Sandsteinkugeln, auf welche Kugler¹⁸⁷⁰ hingewiesen
hat.

Der ganze Komplex des Obolussandsteins zeigt,
namentlich in seinem mittleren Teil, ^{mit} sehr schöne
Kreuz- oder Diagonalschichtung.

Die Schwefelkies= Nach oben wird der Obolus=
bank (A 2c) sandstein durch eine 0,10-0,25 m
mächtige, sehr feste, sandige Schwefelkiesbank
abgeschlossen. Die Schwefelkiesbank bildet auf
der Baltischen Hakeninsel einen durchgreifenden
Horizont und ist auch anderweitig in Estland
an der Grenze zwischen dem Obolussandstein und
dem eigentlichen Dictyonemaaicher beobachtet
worden. Die Schwefelkiesbank ist aus 5-10 cm
starken sandigen Schwefelkieslagen aufgebaut und
zeigt auf der Oberfläche dieser Lagen oft
sehr schöne Rippelmarken. An Fossilien lassen sich
in ihr nur Bruchstücke von Obolusschalen
nachweisen.

Der Obolussandstein und die Schwefelkiesbank
beginnen auf der Westseite der Hakeninsel 1,5
km südlich der Baltischen Spitze, wo die
Schwefelkiesbank das Meerenniveau erreicht.
Unterhalb des Leuchtturms ist der Obolussandstein
in einem sehr schönen Profil in seiner ganzen

Mächtigkeit von 3,60 m aufgeahlossen. Das Profil ergibt folgendes Bild:

Zm Hängenden: Dictyonen-schiefer (β_3) 4 m.

| | |
|---|-------------|
| Schnefeldsches Bande (β_{2d}) | 0,10 " |
| a. fester, rotbrauner, neuvergichteter Sandstein | 1,55 " |
| b. Tonschieferlage | 0,02 " |
| c. fester gelbbrauner Sandstein mit dünnen Tonschieferlagen und Lamellen | 0,45 " |
| d. kreuzgeschichteter weicher gelber Sandstein mit dünnen schiefelagigen | 0,55 " |
| e. graubrauner Schiefer mit sehr wenig Sandstein | 0,03-0,05 " |
| f. gelber weicher Sandstein mit sehr vielen Schiefergrünschichten und Schwielen | 0,90 " |
| g. grau-brauner Schiefer | 0,08-0,10 " |

Obolus =
sandstein (β_{2a})

3,60 m.

Zm liegenden: Obolus-konglomerat (β_{2a})

An der Baltischen Spitze erreicht der Obolus-sandstein eine Höhe von 3,75 m. über dem Meeresspiegel und eine Mächtigkeit von ca 3,45 m.

Auf der Ostseite läuft der Obolussandstein sich in seiner Gesamtmächtigkeit bis zum Taleinschnitt verfolgen, weiter nach Süden nimmt

er am Aufbau der unteren Glintterrasse teil.
und ist ^{zusammen} mit der Schwefelkiesbank nur gelegentlich
am Strand zu beobachten und meist von
Schuttmassen verdeckt.

Überall ist auf der Ostseite der Hallinsel
der obere rotbraune Horizont des Obolusandsteins
mit den hellgrauen Kugeln unter den Schwefel-
kiesbank zu sehen.

Südlich vom Gute Leeg erreicht die Schwefel-
kiesbank das Meeressniveau.

Der Dictyonema-schiefer = Auf den Obolusandstein folgt der
schiefer (B3). mit ihm aufs engste verbundene
Dictyonemaschiefer. Die Schieferbank bildet den
Abschluss der Obolus-Dictyonemastufe von Samanzy
oder der Paderborner Stufe von Raymond und Berner.
Es ist ein dunkelbrauner bis schwarzbrauner heterogener
Ton-schiefer, welcher im Ausgabenden sich in dünnen
Platten absondert, während der Absonderung steifer
im Fels dickerplattiger ist. Seine unruhige
Oberfläche zeigt eine graue Färbung.

Der Gesamtaufbau des Dictyonemaschiefers
ist auf der Baltiackporter Hallinsel, wie auch
anderorts in Ostland, sehr konstant. Stellenweise
finden wir in ihm Schwefelkieskristalle eingelagert
oder auch konkretionäre struktige Gebilde von
Dolomitpseudomorphosen nach Kalzit. Auch fand

ist am Strand von Leppino bei Leetz eine
große derartige Einlagerung im Schiefer, bei welcher
aber die Kristalle senkrecht zur Schichtung stehen
bei einer Höhe von 10-15 cm und einer seitlichen
Ausdehnung von 2 m. Ähnliche Bildungen
beschreibt A. Micausky¹⁾ vom Gute Fall.

Die Gesamtmächtigkeit der Dichtyorenmaschiefer-
bank beträgt auf der Halbinsel -durchschnittlich
4,50 m.

Der Schiefer beginnt beim Haga-Gesinde 1 km
nördlich von Baltijskort, wo seine obersten
Lagen das Meeresspiegel erreichen. Weiter nach
Norden tritt der Schiefer nur stellenweise
unter den Schuttbergen am Fuße des Glintes
zu Tage. Beim Seewektorum erreicht der Schiefer
die Höhe von 4,85 m. über dem Meeresspiegel
und ist für ein eingehendes Studium
nicht mehr geeignet.

Der beste Aufschliff des Dichtyorenmaschiefers
findet sich im Taleinschnitt auf der Ostseite
der Halbinsel. Hier ist er in einer Mächtig-
keit von 4,42 m. aufgedlossen. Weiter nach
Südosten tritt er nur gelegentlich an der
unteren Glintterrasse zu Tage. Bei Leppino
und Kersalo strecken nur die obersten Lagen
des Schiefers am Glintprofil zu Tage und erreichen

an letztergenannten Orte eine Höchstigkeit von 0,75 m.
über dem Meeresspiegel.

Der Bitumengehalt des Dictyonenmuschels von
Baltischport beträgt nach A. Kupffer¹⁾ 22,41%,
welcher folgende chemische Zusammensetzung ergibt:

C 72,78 %

N 2,62 ,

H 7,44 ,

O 17,16 ,

An Fossilien finden sich im Schiefer bei
Baltischport sehr seltene Exemplare von *Dictyonema*
flabelliforme Dickw., für welche ja die Baltischporter
Kalkinsel als klassischer Fundort gilt.

A. Kraatz²⁾ erwähnt in seiner Obolensarbeit,
dass gelegentlich von ihm im Schiefer Reste von
Obolusschalen gefunden worden sind, welche zunächst
von A. Tammekann³⁾ bezeichnet wird und letzterer
glaubt, dass diese wohl aus den mit dem
Obolus sandstein wechsellagernden Schieferlagen
stammen. Während meiner Untersuchungen auf
der Baltischporter Kalkinsel, ist es mir auch
gelungen, in den mittleren Lagen des Dictyonen-
Schiefers tatsächlich Reste von Obolusschalen
festzustellen, welche mit ganz geringen Sandmengen
im Schiefer auftreten. Diese Tatsache kann als
erneuter Beweis für den engsten Zusammenhang

1) a. a. O. S. 48 des Schrifttafel.

2) a. a. O. S. 28

3) L. v. № 86

des Dictyonemaschiefers mit dem Obolussandstein gelten.

Der Dictyonemaschiefer ist früher, seiner Feinkörnigkeit und fast gänzlichen Fossilfreiheit wegen, als typische Tiefseebildung angesehen worden. Die in der neusten Zeit festgestellten Tatsachen sprechen jedoch dafür, daß der estländische Dictyonemaschiefer in flachem Wasser abgelagert worden ist. Die ersten Angaben hierüber finden sich bei H. Becker¹⁾. In einem Spezialaufsatz behandelt H. Scupin²⁾ die Frage der Entstehung des Dictyonemaschiefers und führt auch die Gründe an welche für die Flachwasserablagerung des Dictyonemaschiefers sprechen. In einer umfassenden Monographie über den estländischen Dictyonemaschiefer schließt sich A. Tammenkau³⁾ der Auffassung von H. Scupin über die Bildung des Schiefers an.

Ausgehend von der Bildung des Obolussandsteins, welcher seinem ganzen Habitus nach als eine typische Strandbildung aufzufassen ist, und mit welchem der Dictyonemaschiefer engste verbunden ist, - gelangt H. Scupin zum Schluß, daß letzterer als eine Faulschlammbildung anzusehen ist, welche hinter den Strandlinien des Obolussandsteins abgelagert worden ist.

1) d. v. № 78 S. 12

2) d. v. № 81

3) d. v. № 86

Der Glaukonit- Der Glaukonitsand lagert auf sand (Bi) der erodierten Oberfläche des Dictyonema-schiefers dessen Geröllstückchen vielerorts auf den Baltischporiferen Halbinsel im untersten Teile des Glaukonitsandes zu beobachten sind. Das Auftreten von Schiefergerölle im Glaukonitsandstein ist auf der Baltischporiferen Halbinsel zuerst von Lamanow festgestellt worden.

Im diegenden des Glaukonitsandsteins läßt sich überall auf der Baltischporiferen Halbinsel eine 3-5 cm mächtige Schwefelkieslage oder Schwefelkieselkullanhäufung feststellen. Diese Schwefelkieslage habe ich überall auf der Halbinsel, wo der Glaukonit-sand im Kontakt mit dem Dictyonemaschiefer auftrete, beobachten können. Der Durchmesser der Kullien beträgt zwischen 1-5 cm.

Der Glaukonitsand erreicht auf der Baltischporiferen Halbinsel eine größtberaumte Mächtigkeit in Estland. Es ist ein dunkelgrüner aus abgerundeten Quarzkörnchen bestehender feinkörniger Sandstein, dessen Grünfärbung von den massenhaft in ihm auftretenden Glaukonitkörnchen herrihrt. In seinen untersten Lagen ist er wenig fest, und es finden sich oft dicke graugrüne Tonlagen und -schichten, nach oben zu nimmt er an Festigkeit zu, was auf seinen geringen Kalkgehalt in den obersten

lagen zurückgeführt werden muss. In seinem oberen Teile kann man auch häufig hellgraue mergelige Einlagerungen sehen. Seine Durchschnittliche Mächtigkeit beträgt auf der Halbinsel rund 3,50 m.

Auf der Baltischwärter Halbinsel begegnen wir dem Glaucoritsand nördlich von Baltischwärter im Glintprofil von Huga, wo er in seiner Gesamtmächtigkeit aufgeschlossen ist, dies beträgt hier 3,60 m. Südlicher von Huga ist ^{er} durch die aufgeworfenen Strandwälle dem Auge des Beobachters verborgen. Weiter nach Norden ist der Glaucoritsand am ganzen Glintprofil zu sehen. Auf der Ostseite der Halbinsel findet sich der beste Aufschluss des Sandsteins im vorgenannten Profile des Talemabschnitts, hier ist er in einer Mächtigkeit von 4 m aufgeschlossen. Weiter nach Süden tritt er am Faspe der oberen Glintterrasse auf und ist nur gelegentlich zu beobachten. Bei Kersalo erreichen seine untersten Lagen fast das Meeressniveau.

Die Mineral einschlüssen sind häufig Pyrit- und Markasitknollen zu beobachten. Interessant ist auch die von Helmersen¹⁾ bei Baltischwärter gefundene Asphaltlinse.

Fossilien sind im Sandstein äußerst selten zu beobachten. Es finden sich bei Huga im mittleren Teile des Sandsteins vereinzelt Exemplare von

1) L.v. W:31 p. 213.

(Leptembalon) ²⁾ Obolus lingulaformis Arch., sive Obolus silericus Rieks. Die jetzt genannte Art fand ich auch in den mittleren Lagen des Glaucorits aussteins im Profil des Taleinschnitts. In seinem obersten ^{festkern} ~~Kaligem~~ Teil fand ich dasselbe eine Orchis spec.

Von Lamanasy ¹⁾ ist der Glaucorit sand in zwei Zonen ^{B_{IIa} und B_{IIb})} gegliedert worden, doch scheint mir Raymonds ²⁾ Auffassung die richtigere zu sein, wenn er die Zone B_{IIb} von Lamanasy der Zone B_{IIa} oder der Megalaspis planilimbata-Zone, zu welcher sie die größte Verwandtschaft nach dem Faunenbestande hat, angliedert.

Lamanasy betrachtete den Glaucorit sand, durch die Entdeckung seiner neuen Fauna der Zone B_{IIb} als "Äquivalent der Ceratopyge Ablagerungen von Schwerden", doch weist z. B. Raymond ³⁾ (und ~~die Faunenklassen~~) nach, daß die Ceratopygefauna in ihren Horizontalen Verbreitung unser Gebiet wohl nie erreicht hat, worauf auch die erosionserscheinungen an der Oberfläche des Glaucorits Dichtyoxemmaschiefers sowie das Auftreten von Geröllstücken des letzteren an der Basis des Glaucorit sandes hinweisen, und jedenfalls auf eine längere oder kürzere dauernde negative Strandverschiebung zu Ende der Ablagerung des Dichtyoxemmaschiefers deuten.

1) L.R. № 70

2) L.R. № 24 S. 190

3) L.R. № 74

Der Glaucornit = Der auf den Glaucornitsandkalk (B₂) folgende Glaucornitkalk besteht auf der Baltiakalpen-Halbinsel zuerst aus grüngrauen mergligen Lagen auf welche ein fester dunkelgrüner Glaucornitreicher kristalliner Kalk mit *Megalaspis planilimbata* und *Megalaspis limbata* folgt, nach oben zu mehren sich die mergligen Zwischenlagen und ist der Glaucornitgehalt der mit diesen wechselnden hellgrauen Kalkschichten ein geringerer. Die Mächtigkeit des Glaucornitkalkes ^{ist} auf der Baltiakalpen-Halbinsel eine wechselnde von 0,65 m bis 2,10 m, wie Samansky¹⁾ es schon früher gezeigt hat.

Der Glaucornitkalk beginnt auf der Halbinsel in der Nähe des Baltiakalpen-Hafens, das erste schöne Gesamtprofil des Kalkes sehen wir jedoch nicht vor Huga, wo er in einer Mächtigkeit von 1,27 m. aufgeschlossen ist. Weiter nach Norden ist der Glaucornitkalk am gesamten Glintprofil aufgeschlossen und zwischen 0,65 - 1,60 m. mächtig. Auf der Ostseite der Halbinsel finden wir ein schönes Profil des Kalkes im Talleinmarkt, wo seine Mächtigkeit 1,40 m beträgt, ferner finden sich viele gute Aufschlüsse des Glaucornitkalkes zwischen dem Talleinmarkt und dem Leppiko-Groinde

1) L.v. № 70

südöstlich des Gutes Leetz.

Die Messungen des Glaucornitkalks und Glaucorit-sandsteins bei Huga ergeben folgendes Bild

In Hangenden: B_3 0,70 m.

- | | |
|--|-------------|
| 1) Hellgrauer Kalk, mit wenig Glaucorit. | 0,10 " |
| 2) Graugrüner Mergel mit dünnen Kalkzwischenlagen | 0,07 " |
| 3) Hellgrauer Kalk mit mehr Glaucorit als in № 1. | 0,17 " |
| 4) Hellgrauer Tonzwischenlage | 0,01-0,02 " |
| 5) Hellgrauer Kalk mit dünnen Mergelzwischenlagen und Kalkgerölle | 0,04 " |
| 6) Fester Kalk mit wenig Glaucorit | 0,07 " |
| 7) Tongzwischenlage | 0,02 " |
| 8) Fester Kalk wie № 6 | 0,07 " |
| 9) Grauer Mergel mit Kalkgerölle | 0,10 " |
| 10) Dicker kristalliner Kalk sehr reich an Glaucornitkörnchen, durchsetzt mit Flecken und Bändern durch ^{durch} des ^{des} oxyd gefärbt | 0,56 " |
| 11) Grünlich-grauer Ton | 0,03 " |
| 12) Hellgrauer, fast glaucorit- freier Kalk | 0,02 " |

$B_2 = 1,27 \text{ m.}$

| | | |
|----|--|-------------|
| 1) | Hellgrauer Mergel in ganz dünnen Platten | 0,15 m |
| 2) | Kalkhaltiger dunkelgrüner glauconitreicher Sandstein | 0,07 " |
| 3) | Gräue Tonzwischenlage | 0,01-0,02 " |
| 4) | wie Nr 2 | 0,09 " |
| 5) | Grüner glauconitreicher reicher Sandstein | 0,03 " |
| 6) | Teut. kalkhaltiger Glauconitsandstein | 0,10 " |
| 7) | Sehr weicher dunkelgrüner, glauconitreicher Sandstein im unteren Teil mit kleinen Schiefergerölle und dünnen tonigen Zwischenlagen, im oberen Teil mit Septenbolon lingulaformis und Obolus silericus. | 3,00 " |
| 8) | Schwefelaloeslage | 0,01-0,05 " |

$\Sigma j = 3,50 \text{ m}$

Im Liegenden: Dichty onema schief

Der Glauconitkalk ist von Lamansay in die Zonen $B_{II}a - B_{II}g$ gegliedert worden, welchen Raymond noch die Zone $B_{II}h (= B_{III}a)$ von Lamansay oder die Expansionszone (B2c) von F. Schmidt aus faunistischen Gründen angliedert und somit ist dieser Glauconitkalk in der Begrenzung von

F. Schmidt wieder herstellt. (Über die Einziehung
der Zone $B_{I\beta}$ von Lamansky in die Zone $B_{II\alpha}$
ist schon im vorhergehenden gesprochen worden).
Alle diese Zonen treten vorzüglich in Russland
auf, und ^{zwar} ~~dass~~ im äußersten Osten bis zur
Popowka bei Petersburg, wo die Zone $B_{II\beta}$
ausdeilt, weiter nach Westen treten auch die
Zonen $B_{II\gamma}$ und $B_{II\delta}$ aus. Sie sind in
Estland nur auf der Baltijschischen Halbinsel ^A
stellenweise beobachtet worden.

Nach Heyoffer³⁾ ergibt die chemische Analyse
des Glaukonitkalks folgende Zusammensetzung:

| | N ^o 1 | N ^o 2 |
|----------------------------------|------------------|------------------|
| SiO ₂ | 8,33 % | 12,34 % |
| CaO. CO ₂ | 89,21 | 83,46 |
| MgO. CO ₂ | 1,00 | 0,99 |
| Al ₂ O ₃ { | 0,90 | 0,98 |
| Fe ₂ O ₃ | | |
| Gleichverlust | 0,70 | 0,56 |
| P ₂ O ₅ | Spur | 0,58 |

Beide Analysen beziehen sich auf die obersten
kalzigen Lagen des Glaukonitkalks von Baltijsport.

In Fossilien sind auf der Baltijschischen
Halbinsel im Glaukonitkalk bisher folgende
Arten gefunden worden:

1) Vergl. Lamansky; L.v. N^o 70 und 86; L.v. N^o 69

2) L.v. N^o 39, S. 67 des Separatelahrs.

- Anyphaea limarssonii* F. Schmidt B_{2a}
Asaphus Broggeri F. Schmidt B_{2p}
Asaphus lepidurus Nieszkowskii B_{2a}
Megalaspis acuticauda Angelin B_{2a}
¹⁾ *Megalaspis gibba* F. Schmidt B_{2a}
¹⁾ *Megalaspis hyorcina* var. *Stacyi* F. Schmidt B_{2p}
Megalaspis limbata Sars & Boeck B_{2a}
¹⁾ *Megalaspis planilimata* B_{2a}
Megalaspis polyphemus var. *minor* F. Schmidt B_{2a}
Megalaspis polyphemus aff. var. *Törnquisti* F. Schmidt B_{2a}
¹⁾ *Megalaspis* spec. B_{2a}
Nioche laeviceps Dalman B_{2a}
¹⁾ *Nioche* aff. *frontalis* Dalman B_{2a}
Ptychopyge Pakleni F. Schmidt B_{2a}-B_{2p}
Ptychopyge Plautini F. Schmidt B_{2p}
Orthoceras spec.
¹⁾ *Hyalithes* spec. B_{2p}-B_{2a}
¹⁾ *Reriatis* (*Oboleus*) *antiquissimus* B_{2a} aus dem Reraler Museum
¹⁾ *Clitambonites plana* (Pander) B_{2a}-B_{2p}
Orthis Bocki Lamansky B_{2a}
Orthis obtusa Pander B_{2a}-B_{2p}
¹⁾ *Orthis orthambonites* Pander
Orthis parva Pander B_{2a}-B_{2p}
Porambonites Broggeri Lamansky B_{2a}
¹⁾ *Diplostysa petropolitana* (Nicholson) Bassler B_{2p}
¹⁾ *Nicholsonella gibbosa* Bassler B_{2p}
¹⁾ neu für die Balti-reporter Laktion

Der Vaginatenkalk. auf den Glauconit=
 (B3) kalk folgt nach oben
 der Vaginatenkalk, welcher auf der Baltisch=
 porten Halbinsel mit einer Konglomerat - bzw.
 breccienartigen Bildung beginnt, während die
 anderorts an seiner Basis zu beobachtende
 untere Dimsenschicht (B3a) hier nicht auftritt und
 durch dieses Konglomerat ersetzt wird. Das
 Konglomerat besteht aus abgerundeten oder
 eckigen Geröllen oder Bruchstücken des darunter=
 liegenden Glauconitkalkes, welche durch ein
 braunes sandiges, bituminöses oder kalkiges Zement
 mit einander vermittet sind. Auf diesen
 Geröllen sind in den untersten Lagen des
 Vaginatenkalks noch häufig kleine schwarze
 Phosphoritknollen anzutreffen. In diesen Lagen
 tritt als häufiges Fossil *Orthis calligramma*
 dalm. auf. Weiter nach oben treten kleinere
 kalkige Lagen auf, welche nach höher hinauf
 grünlich-grau werden und aus zahlreichen
 kleinen abgerundeten Quarzkörnchen mit kalkigem
 Zement bestehen und zahlreiche Exemplare von
 Indoceras falcatum Schloth. häufig zu finden.
 Von F. Schmidt²⁾ ist der Vaginatenkalk der
Baltischporten Halbinsel als Kalksandstein

bezeichnet worden; b. P. Raymond ¹⁾ bezweifelt die Berechnung dieser Bezeichnung, aber die Analysen von A. Kappeler ²⁾, welcher der damaligen Ansicht nach den Vaginatenkalk von der Baltischporer Halbinsel noch dem Glaukonitkalk zugibt, zeigen in der Tat einen sehr reichen Gehalt an SiO_2 , welcher zwischen 46,85 - 53,54% schwankt.

| | N° 1 | N° 2 |
|--------------------------------|---------|---------|
| $\text{CaO} \cdot \text{CO}_2$ | 49,43% | 43,93% |
| SiO_2 | 46,85 " | 53,54 " |
| $\text{MgO} \cdot \text{CO}_2$ | 0,36 " | 0,48 " |
| Al_2O_3 } | 0,24 " | spur " |
| Fe_2O_3 } | | |
| Bitternien | 2,59 " | 0,72 " |
| P_2O_5 | spur " | 0,83 " |

Der Vaginatenkalk, welcher im Osten eine mächtige Ablagerung bildet, ist auf der Baltischporer Halbinsel wenig mächtig, seine Mächtigkeit schwankt hier zwischen 0,35m - 1,45m. Es ist hier nur die Zone $\text{B}_{\text{II}}\text{s}$ ($\text{B}_{\text{III}}\text{s}$ von Lamanzy) entwickelt. Auf der Westseite der Halbinsel beginnt der Vaginatenkalk 0,5km südlich des Hafens, wo seine obersten Lagen das Meeressniveau erreichen. Bei Huga beträgt seine Mächtigkeit 0,70m und steigt im wechselnden Mächtigkeit bis 1,45m. im Verlauf des Westprofils.

Im Profil des Talcinochmitts sind seine
 1) L. v. № 74 S. 195
 2) L. v. № 39 S. 67 dargestellt.

untersten Lagen fast kristallinisch mit sandigen Zwischenlagen, nach oben wird er denseschlaugen und sandig, während seine obersten Lagen hellgrau sind und mit zahlreichen Quarzkörnchen durchsetzt werden. Seine Mächtigkeit beträgt hier 1,35 m. Weiter nach Süden ist der Vaginatendalk bis Kersalo zu verfolgen.

Der Aufbau des Vaginatendalks auf der Baltischporter Halbinsel deutet jedenfalls darauf, dass er in der Nähe des Strandes abgelagert worden ist, also zu Beginn seiner Ablagerung eine schwache pos-negative Strandverschiebung stattgefunden hat, welche im Osten nicht zu beobachten ist und dort wohl kaum eine Unterbrechung in der Sedimentation stattgefunden hat.

Die Fauna des Vaginatendalks ist hier eine sehr chasmofrig arme, nur in seinem älteren Teil sind häufig Endocerasarten zu finden. Es sind in ihm gefunden worden:

Pterygometopus sclerops (Salm.)

Pterygometopus trigonocephala F. Schmidt

Amphion Fischeri Sichter.

Asaphus raniops Salm.

Prudarapus glabifrons Sichter sp.

- 1) *Endoceras vaginatum* Schlotheim
 1) *Endoceras duplex* Schlotheim
 1) *Planctoceras falcatum* Schlotheim
Cyrtolites grandis Koppen
Holopea dichotomata Koppen
 1) *Macrura helix* Söder.
Pleurotomaria elliptica (Hisinger) Koppen
 1) *Raphistoma quadrilaterum* Schlotheim
Worthenia silurica dichotomata.
Clytamerites inflexa (Pander)
 1) *Orthis calligramma* Valenciennes
Orthis obtusa var. *emarginata* vern.
Orthis parva, var. Pander. var.
Hemicymene irrasum (Ulrich) Bassler
Phyllodictya flabellaris Bassler.
 1) neu für die Baltiokopter Halbinsel.

Der Echinospacitenthal. auf den Vaginatenthal. folgt
 (C_1). nach oben der Echinospacitenthal.,
 welcher sich auf der Baltiokopter Halbinsel,
 wie auch andernorts in zwei Unterstufen gliedert.

Der ältere Echinospacitenthal., welches hier
 nur als Obere Dinsenschicht (Ga) von Akwadit eingeschlossen
 ist, ist sehr wenig mächtig und schwankt zwischen
 0,10 bis 0,30 m. Es ist ein hellgrauer
 mangeliger Kalk mit zahlreichen, unregelmäßig
 angeordneten, kleinen, weissen bis braunen

Festeisensteinlinsen, welche dem Kalk das eigenartige Gepräge verleihen. Ihr Der Fossilgehalt des Unt. Echinospaenitundinas ist im Vergleich zu seiner geringen Mächtigkeit ein durchaus reicher, hauptsächlich vertreten sind in ihm Trilobiten und Gastropoden.

Reicher sind folgende Fossilien in der Linsenschicht auf der Ostseeischen Halbinsel gefunden worden:

1) *Chasmops nasuta* F. Schmidt

Hoplolithas tricuspipatus Beyer.

Illaenus tauricornis Hector

Illaenus arensis Holm

1) *Illaenus sinuatus* Holm

Illaenus atavus Eichwald

Asaphus Kowalewskii Lavorov

Asaphus latus Pander

Endoceras duplex Wahls.

Bucania undata Rosen

Pleurotomaria elliptica Risinger

Pleurotomaria maritima Rosen

Cyrtolites grandis Rosen

Holopea Eichwaldi Rosen

Wortenia silurica Eichwald.

1) neu für die Ostseeische Halbinsel.

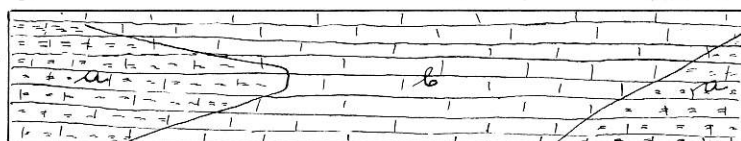
Der Obere Echinospaeritenkalk (C₁₆) besteht aus einer Folge von hellgrauen und gelblichen, magnesiareichen, sehr harten, teils dolomitischen, dickerplattigen Kalkschichten, welche auf der Baltischporter Hallinsel etwa eine Gesamtmächtigkeit von 9-10 m erreichen. Der untere Teil dieses Kalkes läuft sich als selbständige Zone von 1-1,5 m Mächtigkeit ausscheiden. Nach dem häufigen Vorkommen von ^{Stücken des Orthoceras regularis} ~~regularen Orthoceratten~~, welche diesen Kalk geradezu erfüllen, würde ich die Bezeichnung „Regular-Zone“ in Vorschlag bringen. (Aber leitend für diese Zone betrachtet ist das Orthoceras regularis, welches massenhaft in diesem Niveau auftritt.) Besonders schön ist diese Zone auf der Ostseite der Hallinsel entwickelt.

Der obere Teil des Echinospaeritenkalks ist in seiner Gesamtheit recht gleichmäßig entwickelt und fossilarm, so dass es schwer fällt ihm eine passende Bezeichnung nach einem Leitfossil beizulegen, vorläufig würde ich diesen Teil als Plattenkalk bezeichnen, bis mehr Material vorliegen wird, welches eine eingehendere Gliederung dieses Kalkes gestattet.

Der Echinospaeritenkalk bildet das oberste Glied der am Glint aufgeschlossenen Schichten. Auf der Westseite der Hallinsel ist er am

seiner ungewöhnlichen Lage nach schwerer erreichbar, doch bieten sich sehr schöne Aufschlüsse des Kalkes in den Steinbrüchen südlich vom Bahnhofe, wo wir einen braunen, grobkörnigen sandigen, dolomitischen Kalk austekend sehen. Der Fossiliengehalt ist hier ein äußerst geringer, doch deuten kleine Hohlräume im Kalk darauf, daß er ehemals mehr Fossilien enthalten hat, welche bei der durchgreifenden Veränderung des Kalkes vernichtet worden sind. Dieselbe Erscheinung sehen wir unterhalb des Bahnhofs von Baltijskort am Strand, wo wir in Verläufe einiger Meter eine mehrfachen Wechsel in der petrographischen Beschaffenheit des Calciosphaeritenkalkes feststellen können. Es zeigt sich hier, daß der Kalk in seiner horizontalen Verbreitung einige Meter bläulich grau und feinkörnig ist, dann einige Meter braunlich, sandig und grobkörnig und dieses in mehrfachem Wechsel.

Textfigur 1.
Diagramm der untersten Lagen von C. s. im Süden von Baltijskort.



a. Braunerlicher, dolomitischer Kalk mit zahlreichen ziemlich runden Löchern b. Hellgrauer, dichter, feinkörniger bis mikritischer marinenischer Kalk, traut mit C.C. höchst Kalk auf & kann einsetzen.

Weitere gute Aufschlüsse des Calciosphaeritenkalkes bieten die Steinbrüche in der alten Festung, der sog. Mula, nördlich von Baltijskort. Hier ist der Kalk in einer Mächtigkeit von 7-8 m aufgeschlossen. Es ist hier derselbe dichte, feinkörnige Kalk, auf welchen

eine 1-2 m. mächtige hellgraue, dünnplattierte, in kleinen Stücken verwitternde Kalksteinlage mit Chamosit präzurrend folgt.

Auf der Ostseite der Halleinsel ist der Calcino-sphaeritkalk am obersten Glintrand aufgeschlossen und ist von der Ballinischen Grütze bis etwa Kersalo zu verfolgen.

In Mineraleinlüssen im Kalk lassen sich häufig kleine Pyritkristalle, namentlich in seinem unteren Teile feststellen, häufig sind letztere auch in Braunerzen verwandelt. An den den Kalk regelmäßig durchkreuzenden Klüften und Frakten, welche im vorhergehenden besprochen worden sind, sind häufig Pyrit- und Bleiglanz-Kristalle zu finden.

Chemisch ist der Plattenkalk von Kupffer¹⁾ analysiert worden. die Analyseresultate seien hier genannt:

| | |
|--------------------------------|---------|
| SiO_2 | 4,37 % |
| $\text{CaO} \cdot \text{CO}_2$ | 86,82 , |
| $\text{MgO} \cdot \text{CO}_2$ | 6,40 , |
| $\text{FeO} \cdot \text{CO}_2$ | 1,90 , |
| Fe_2O_3 | - , |
| Al_2O_3 | Spur , |
| Gleichverl. | 0,10 , |

1) L.v. N° 39 S. 83 des Separataber.

An Fossilien sind im Echinospaeritenkalke der Baltisch-germanischen Halbinsel folgende festgestellt worden:

a) In der Regularen-Zone:

- ✓ *Orthoceras regularare* Schlotheim
- ✓ *Orthoceras bifoveatum* Schroeder
- ✓ *Endoceras duplex* Wahlen.

b) Im Plattenkalke:

Echymops praeccurrens F. Schmidt

- Echymops Odini* Eichwald
- ✓ *Cleirurus eximius* Beyrich
- ✓ *Cleirurus gladiator* Eichwald

Sphaeroscyphus crassum Kunt. sp.

Hoplolithas tricuspidatus Beyr.

✓ *Micrurus Schmidtii* Holm

Asaphus rostratus

Asaphus derencens Eichw.

✓ *Asaphus Wierszowici* F. Schmidt

Asaphus ornatus Ponap.

✓ *Anelastoceras cf. undulatum* Ball

✓ *Anelastoceras spec.*

✓ *denticulus lituus* Montf.

✓ *Pseudodolingula quadrata* var. *minima* McCawley

✓ *Pseudocrania planissima* Eichwald.

✓ *Plectambanites sericeus*

✓ *Rafinesquina index* Pander

✓ *Christiana oblonga* Pander

- 1) *Glyptammonites ascendens* Pander
Glyptammonites squamata Paklen
 1) *Diplostyra petropolitana* (Nicholson)
Dianulites fastigatus Eichwald
Bucania ruficostata Rosen
Cyrtolites grandis Rosen
 1) *Pleurotomaria elliptica* Hirayama
Holopea eichwaldii Rosen
 1) *Subulites princeps* Eichwald
 1) *Zetinaesphaerites acrantium* Gyl.
Hyborinus dipentas v. Decortenberg
Receptaculites sp.

1) neu für die Baltiisch-pontische Halbinsel.

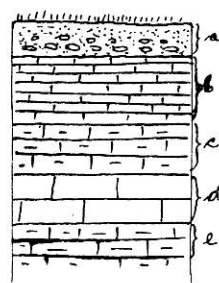
Die Kuckersche
Steife (C₂).

Die nächstfolgende Stufe - die Kuckersche, besteht auf der Baltiogym Kalbinsel aus einer Folge von hellgrauen und braunlichen mergeligen Kalkschichten mit dinnem Kuckersit- oder Brandschieferlamellen und schwachem und ist im Gegensatz zum darunterliegendem Plattendorf sehr fossilreich. Ihre Gesamtmächtigkeit beträgt etwa 5-6 m.

Die Kuckersche Steife zieht sich als schmales Band um die Kalbinsel und bietet ihrer Lage nach keine guten Aufschlüsse, doch läßt sich ihre Verbreitung an Hand der zufälligen Aufschlüsse - doch mit einziger Sicherheit feststellen. Bei Saaxill steigt die Kuckersche Steife unter dem Meeresspiegel hervor und erstreckt sich südlich bis kurz vor H. Matthes, während sie nach Norden ^{mit entsteaud,} auf der Westseite der Kalbinsel ~~fast~~ die Baltische Spitze erreicht. Aufschlüsse finden sich in diesem Abschnitt beim Dorf Saaxill, beim Kocka-Gronde, an den Eisenbahnen beim 1. und 2. Bahnwärtershäuschen im Eintönnungsgraben der Eisenbahnlinie. Hier ist sie in einer Mächtigkeit von 1 m. aufgeschlossen und besteht aus dicaplattigen hellgrauen und braunlichen mergeligen Kalkschichten, welche weiß bei der Verwitterung eine weiße Farbe annehmen und spärliche Kuckersitlamellen ein-

einschließen, doch finden sich auch bis zu 0,8 m dicke Branddichrockschichten. Weitere Aufschlüsse finden sich bei Kocka II, am Grunde der während der Kriegszeit angelegten Kampffärbereien, ferner beim Rogatka-Gesinde, $\frac{1}{2}$ km östlich der Stadt Baltijskport, am Grunde von 1-1,5 m tiefen Gruben. Hier sind es braunliche, stark bimimische Kalke mit reichlichen Kuckersitlagerungen und sehr vielen Fossilien.

Ein fast 1 km langer Entwässerungsgraben zieht sich in NW-NO Richtung parallel der Nordspitze der Halbinsel bis kurz vor Töstipore und zeigt an seinem Grunde die Kuckersche Stufe aufgeklauten. Eine stehen gebliebene Klippe der Kuckerschen Stufe zeigt die Thalysse, 12 m an der Nordspitze der Halbinsel, sie ist hier in einer Mächtigkeit von 1-2 m aufgeschlossen.



| | | |
|----|---|---------|
| a) | Erdurium und verwitterter Kalk | 0,10 m |
| b) | Kellgrauer, mergelige, dünnplattiger Kalk mit Hohlräumen und der Größe von $\frac{1}{2}$ Zentimetern brauchbaraten. | 0,20 m |
| c) | bikuminöser, braunschwarzer Kalk, dünnplattig | 0,15 m |
| d) | dickplattiger hellgrauer feinkörniger Kalk | 0,15 m |
| e) | | 0,10 m+ |

Fig. 2. Profil der obersten Lagen a) wie c) mit dicken Kuckersitlammellen der Kuckerschen Stufe an der Kalkklippe.

Etwa nördlicher hiervon und 1,5 m tiefer ist noch

die Kuckersche Stufe aufgeschlossen. An dieser Stelle
sehen wir gelblich graue feste Kalke mit Kuckersort-
einlagerungen und zahlreichen sehr grossen
Exemplaren von *Schinorphaerites aurantium* Jgl.,
außer diesen finde ich hier noch zahlreiche Fossilien,
wie *Chamops Odini* Eichw., *Platyostychia bifurata* Schloth.
und *Poramboites* spec.

Auf der Ostseite der Hallinsel sind die
Aufschlüsse der Kuckerschen Stufe äußerst mangel-
haft, und ^{so} müste ich mich beim Hartieren oft
an das Material der Maulwurfskügel halten.
Gute Aufschlüsse finde ich sidelich vom Paeserorter
Seuchenturm in einem Entwässerungsgraben, sowie
in der Nähe von Töftipere. An letzterem Orte
 beträgt die Mächtigkeit des Aufschlusses ca 1m.
Interessant ist hier das zahlreiche Vorkommen
von Lamelli-Brauchiaten, welche einzelne Lagen des
Kalkes geradezu erfüllen.

Ein gutes Kriterium für die Kuckersche
Stufe bietet auch der z. B. sumpfige Charakter
des Geländes über dieser.

An Fossilien sind bisher in der Kuckerschen
Stufe auf der Baltiørporten Hallinsel folgende
Arten gefunden worden:

Pterygotropus sclerops Eichw.
?Chamops Odini Eichwald

- Cyrtometopus pseudo hemisphaerium* forma dolichognatha F. Schm.
Renosphaerides nancus var. elongata F. Schmitt
Hypocyclospira revoluta F. Schmitt
 ♂ *Mucronites* spec.
 ♂ *Pseudosphaerites testicaudatus* Steinb. sp.
Asaphus Nielskoeldii F. Schmitt
 ♂ *Basilius kuckersianus* F. Schmitt
 ♀ *Orthoceras* spec.
Cymbularia galactea Koken
Bucania radiata Eichwald ♀.
Worthenia mediterranea Koken mut.
 ♂ *Pleurotomaria elliptica* Hisinger
Raphistoma marginale mut. a Koken
Eucalyptocrinus incrassatus Eichwald
Eucalyptocrinus Tollii Koken
 ♂ *Siphonostreta formicata* Actinoga
Pseudocrania depressa Eichwald
Pseudocrania antiquissima Eichwald
 ♂ *Orthis* spec.
 ♂ *Platystrophia bifurcata* Meloth.
 ♂ *Platystrophia lyra* Eichwald
 ♂ *Pleostomonites sericeus*
 ♂ *Rafinesquia imbrex* Pander
 ♂ *Clistonites verneilli* Eichwald
 ♂ *Clistonites squamata* Pander
 ♂ *Trambonites* spec.
 ♂ *Echinospaerites aurantium* Jyl.
 ♂ Den für die Baltiadiapler Malbäsel.
 ♂ Richtig nur nur C. hirsutus

Die jeweiche Steife bildet das
Steife (D_1). Die jeweiche Steife bildet das
höchste Glied, der auf der
Baltiaküster Halbinsel aufgeschlossenen unter-
silurischen Ablagerungen.

Die in der Literatur über ihr Vorkommen
auf der Halbinsel bekannte gegebenen Daten sind
im vorhergehenden besprochen worden. Hier möchte
ich nur festlegen, daß nach meinen Beobachtungen
die Begrenzung der jeweichen Steife auf der Karte
von Koslowsky etwas zu eng gezogen ist, da ich
an der Eisenbahnlinie zwischen dem 1. und
2. Bahnhofswärterhäuschen in einem Aufschluß noch
die jeweiche Steife feststellen konnte.

Sie besteht aus einer Folge von hellgrauen,
und feinkörnigen, mergeligen und gelblich-grauen,
etwas festeren, ebenfalls mergeligen Kalken. Bei der
Konsistenz zerfallen diese Kalke sehr leicht in
kleine Stückchen. Die untere hellgrau Zone zeigt manch-
mal bei der Konsistenz eine weißlich graue Färbung mit roten
Flecken von Eisenoxyd, während die obere gelbliche Zone
intensiver gelbfärbt bis braunlich wird.

Charakteristisch für die jeweiche Steife sind
auch, die von Schmitz früher beschriebenen,
stylolithenartigen Bildungen, welche zapfenförmig
aus dem liegenden einer schicht in das obere
der anderen hineingreifen.

Wie schon im vorhergehenden erwähnt nimmt die geweckte Stufe der Mitte der Baltischporten Halbinsel ein und zeigt folgende Begrenzung. Östlich von Baltischport liegt hier beim Gute Pallas, von hier zieht sie in nordwestlicher Richtung über das Falde Geinde zum Dorfe Leitz, biegt hier nach SW um, läuft hart an der Trockensee 10 zum Ochtragegeinde, von hier nach Süden bis zur Eisenbahnlinie, zwischen den 1. und 2. Bahnhöfen hinaus, biegt hier nach Norden um und verläuft über das Tralli Geinde zum Gute Pallas.

Aufschlüsse finden sich im Graden beim Gute Pallas, etwa 80 m; weiter nach Osten bei der abgebrannten Mühle, etwa 2,5 km östlich von Baltischport, ferner beim Männike-Geinde. Hier sehen wir in einem 150 m langen Aufschliff ^{im Entwässerungsgraben} beide Zonen in einer Gesamtdeckthöhe von 1 m aufgeschlossen. Der Fossilenreichtum ist hier ein außerordentlich großer und es finden sich in großer Abzahl Gastropoden, Bryozoen, Brachiopoden, Crinoiden-Hilfsglieder, Trilobiten.

Ein zweiter Aufschliff in der Nähe des letzteren findet sich beim Breski Geinde im Walde. Hier sehen wir nur die obere Zelle aufgeschlossen, während die untere

verdeckt bleibt. Auch hier ist der Fossiliengehalt des Kalkes ein großer.

Weitere Aufschlüsse finden sich beim Pölde-Gemide und beim Dorfe Leetz. Am letzteren Orte zeigt der petrographische Bestand des Kalkes ein etwas anderes Bild, als andernorts. Der Kalk gliedert sich hier in seinen oberstenlagen durch eine außergewöhnliche Festigkeit aus.

Einen sehr schönen über 200 m langen Aufschliff finden wir in der Nähe des Tralli-Gemindes, im südlichen Verbreitungsgebiet der geweckten Stufe, in einem tiefen Entwässerungsgraben. Die aufgeworfenen Schuttbergen bieten eine reiche Fundgrube für Fossilien, der Kalk ist hier in einer Mächtigkeit von 1m aufgeschlossen, und entfallen auf die untere graue und die obere gelbe Zone je 0,50 m.

An Fossilien habe ich in der geweckten Stufe auf der Baltisch-potterischen Halbinsel bisher folgende Arten bestimmt:

1) *Pterygometopus regelensis* F. Schmidt

Chasmops marginata F. Schmidt

Chasmops succulenta Böger

Chasmops maxima F. Schmidt

2) *Nesozonaria cephaloceras* F. Schmidt

Cyathula Grewingkii F. Schmidt

- Komalichas Pakleni* F. Schmidt
Illaenus jaceensis Halm
Illaenus spec.
Asaphus Nieszkowskii mut. *jaceensis* F. Schmidt
Asaphus Nieszkowskii mut. *degleensis* F. Schmidt
 ♂ *Basilicus Regulus* F. Schmidt
Endoceras sp.
ditriches Odini Eichw.
Cymbularia cultrigera Koken
Sinularia bilobatus Sov.
Calpina gastera spec.
Bucania contorta Koken
Tenuidiscus acicula Koken
 ♂ *Olydiacanthus planissimus* Eichw. sp.
Zoospira bucaudoides Koken
Plectothrix silvatica Eichwald
Worthenia estonica mut. Koken
Pleurotomaria elliptica His. sp.
Pleurotomaria baltica de Semovi
Raphistoma marginale mut. S. Koken
Eucalyptales diversus Eichw. sp.
Cyclo nema spec.
Haloeca spec.
Platycesas spec.
Sulcilaria amphora Eichw.

Siphonotreta ciliata Schub.

Pseudocrania depressa Schub.

Pseudocrania curvocosta v. Kuenen

Orthis Frechi Wysogorski

Platyctypia biforata Schub.

Platyctypia lynde Schub.

Dalmatella testudinaria Balon.

Rapinesquina imbecilis Pander

Plectambonites sericeus

Plectambonites quinquecostata M'Coy

Citambonites schmidti Paklen

Porambonites schmidti Naekliny

Porambonites Bacceri Naekliny

Porambonites Wakli n. sp.

Diplatyra petropolitana (Nickelsson)

Mesotrypa descoidea var. *orientalis* Bassler

Caryocystis balticus

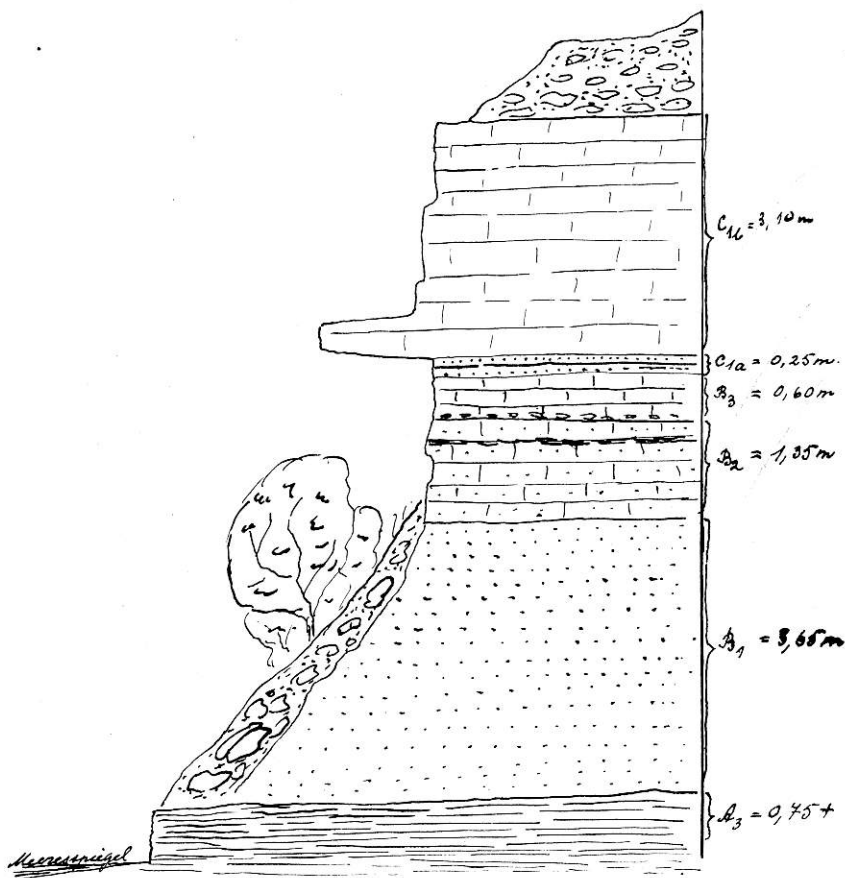
Dictyonema lansdalei Schreud

Receptaculites sp.

Mastopora concava Schub.

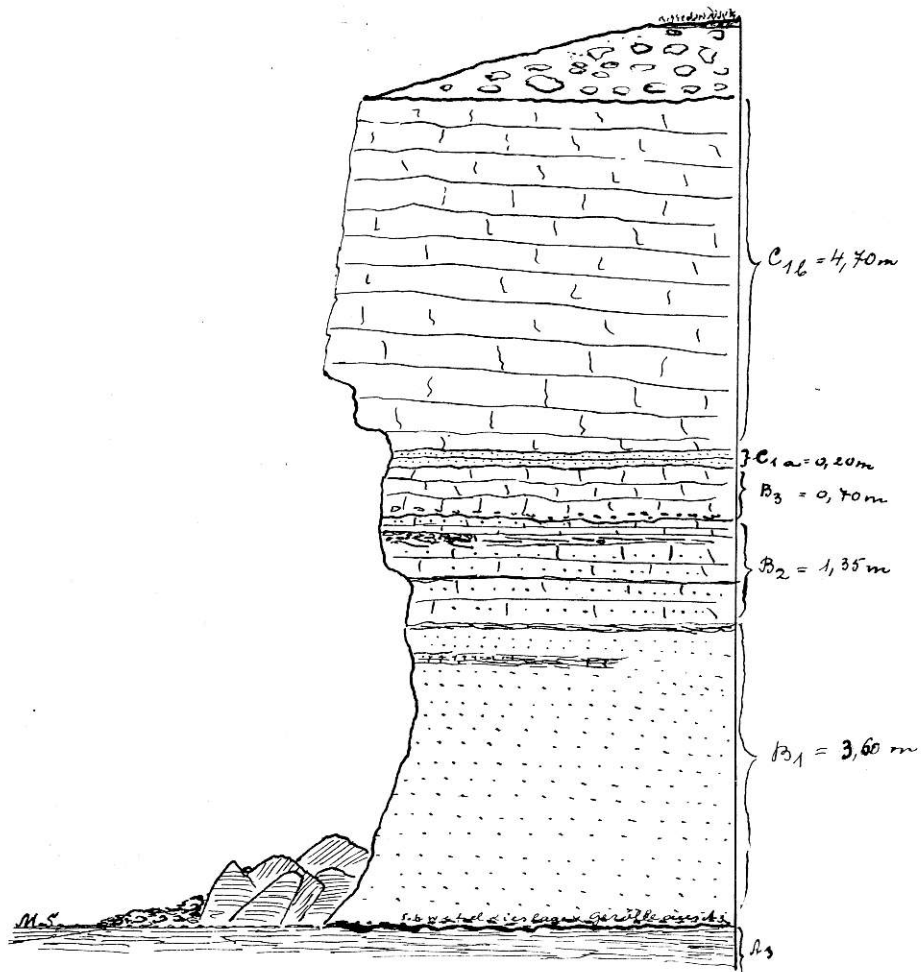
1) Bisher nur aus D₂ bekannt

2) Bisher nur aus G-C₂ bekannt

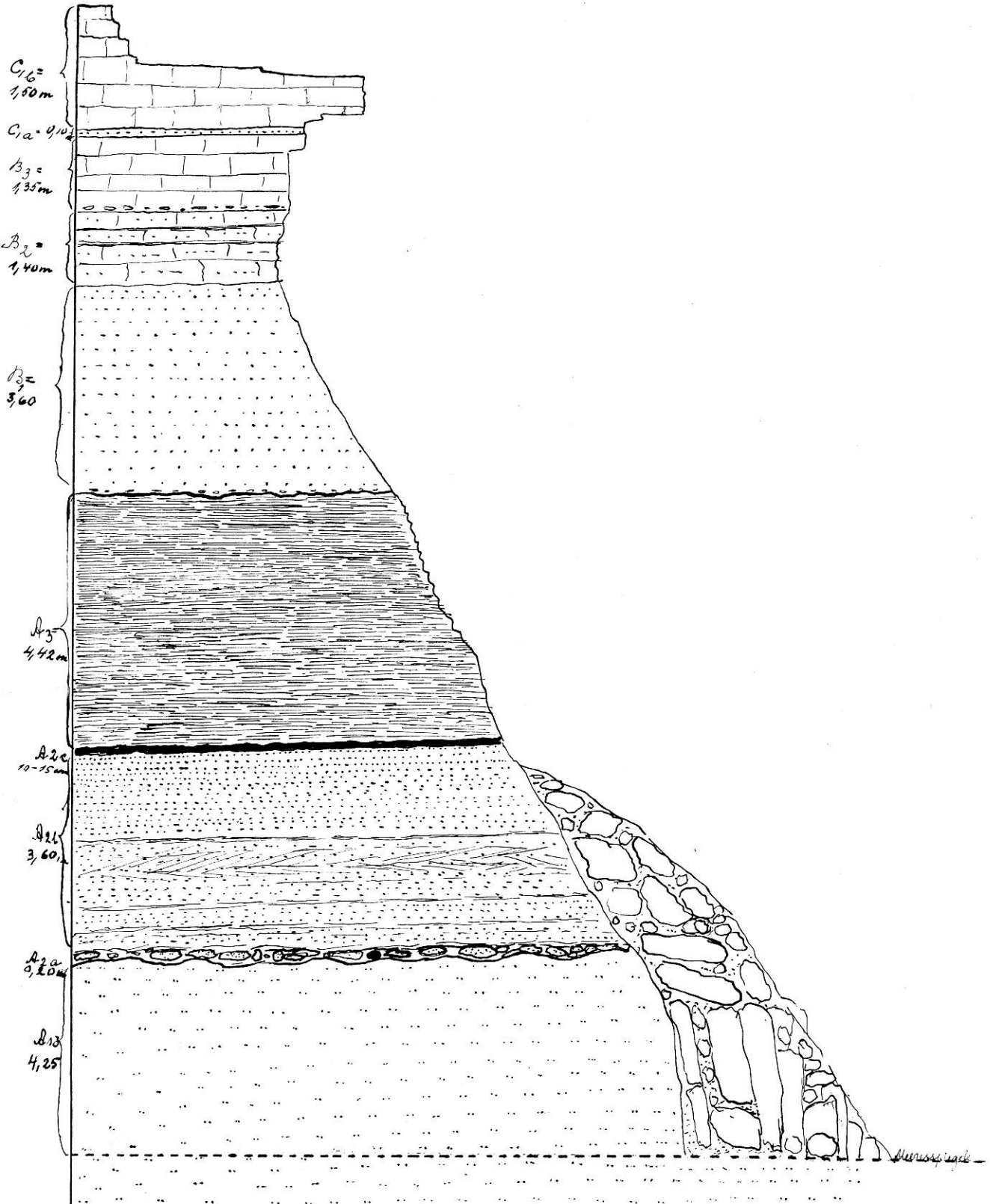


Maßstab 1:100

Profil bei Leppiko



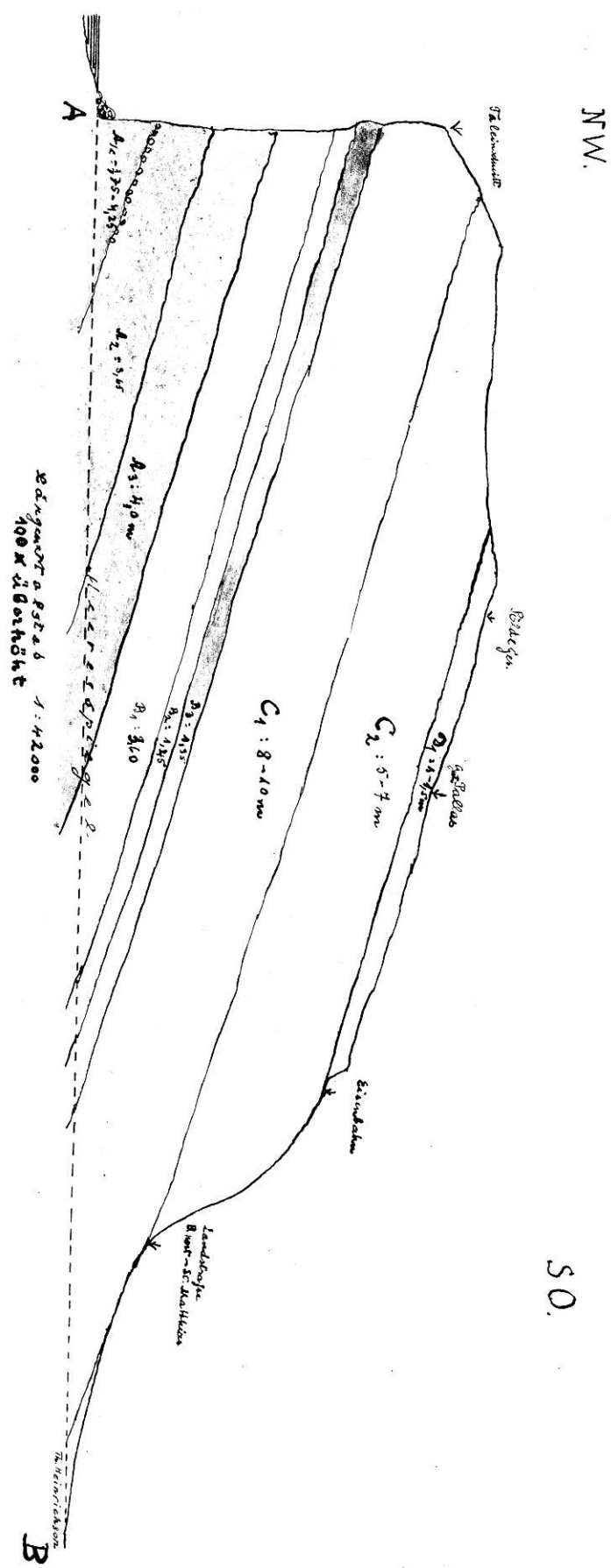
Profil bei Hugga



Maßstab 1:100.

Profil im Taleinschnitt.

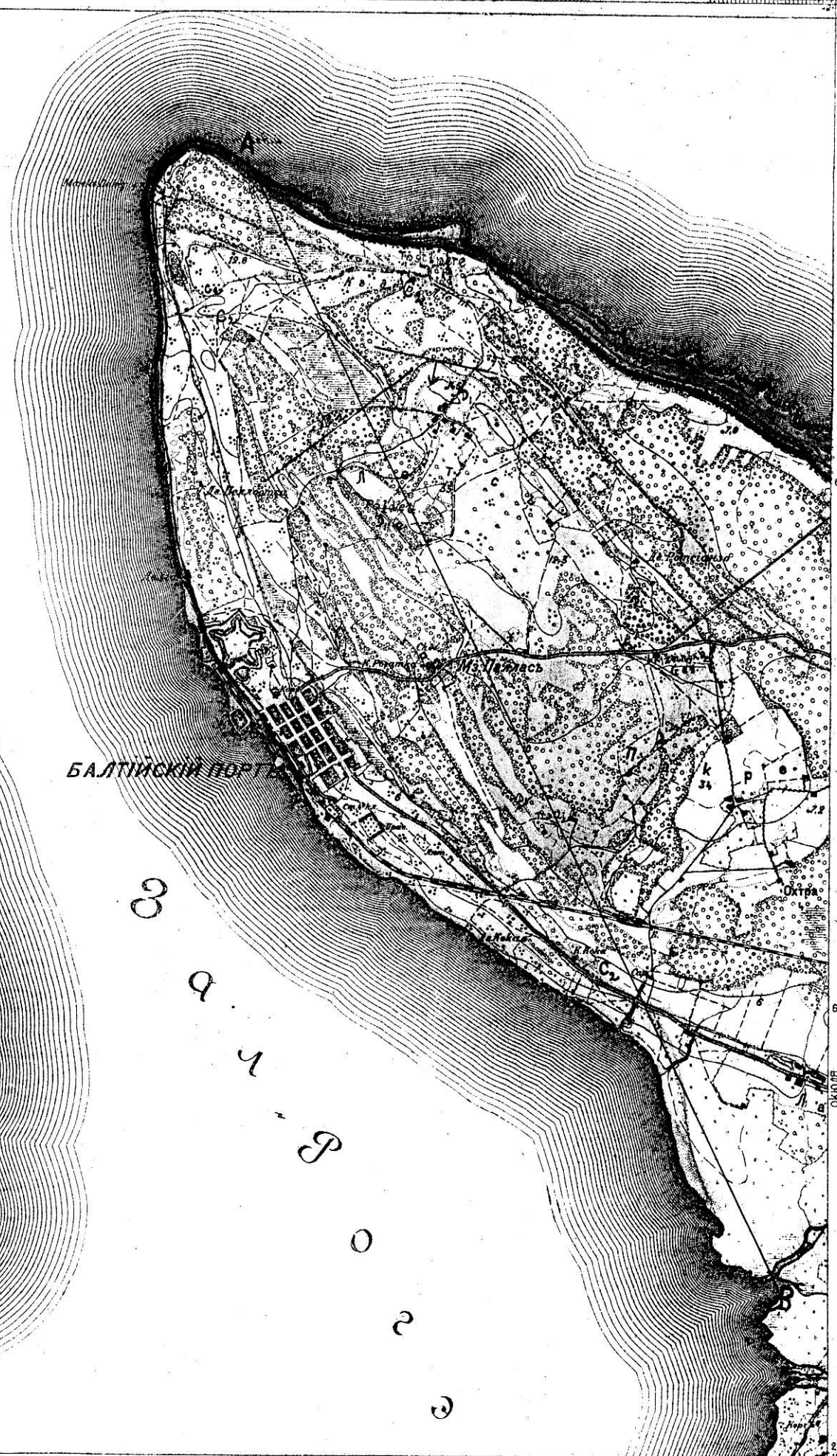
Längsprofil der Baltischporter
Halbinsel

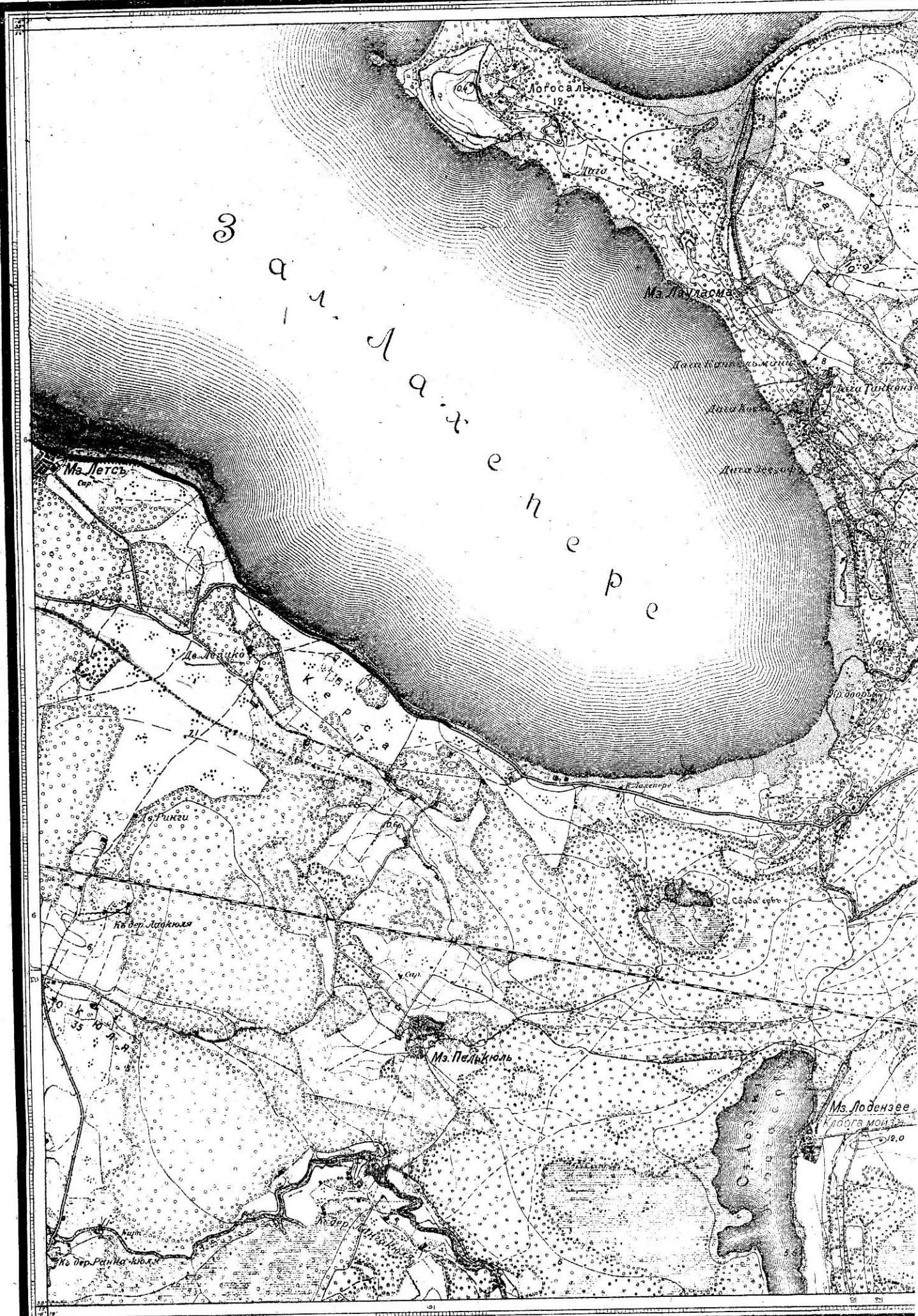


СТИГИЕ КАКИЕ УЕК
СНЯТОРТЕР НАЛВИНСЕЛ

4-25

РЕВЕЛЬСК.УВЗД.



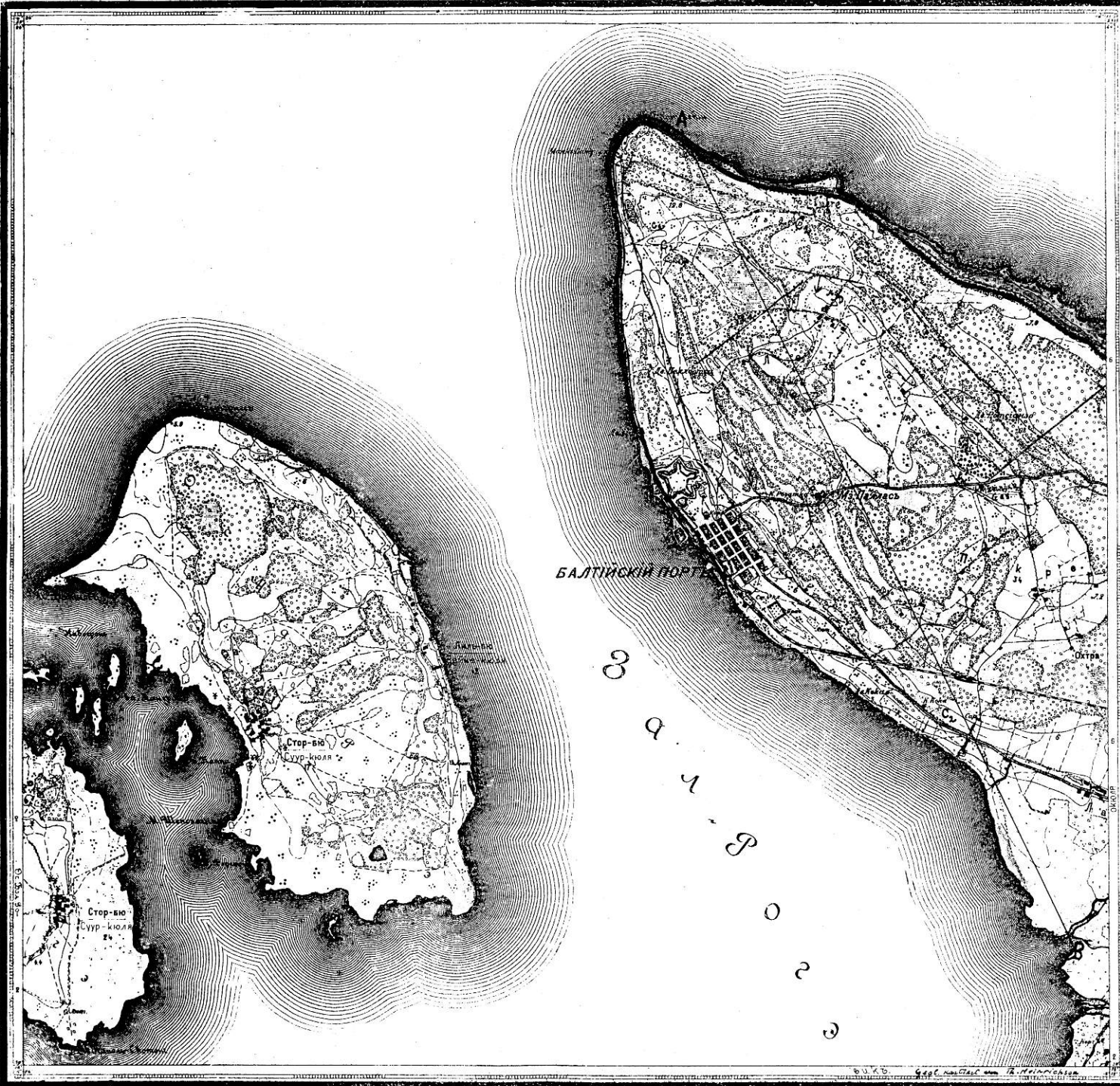


GEOLOGISCHE KARTE DER
BALTISCHEN PORTER HALBINSEL

1899 Г. ЭСТЛЯНД. ГУБ.

4-25

РЕВЕЛЬСК. УБЗД.



Награда - "Орденская Купон Банк Тин Победоносца Торнбюль"

Банком Награждены солдаты Корп. Банк Тин Победоносца Торнбюль

Медалью за заслуги в военных делах. Штаба Пограничной Кварта Форс-Форс

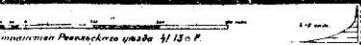
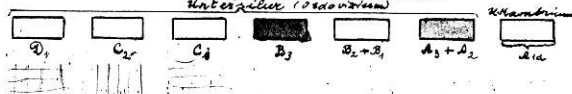
ОТПРИЧИНОВАНА МИНИСТРУМ

Унтер-Офицеру (Францесену)

Приложение к Правилам оценки земель и земельных участков

Масштаб 1:42 000.

Составлено со 25° фрагмента по 13° Октябрь 1899 г. в Германии
Карта План Тин Пограничного Ревельской



CEKPETHO

4-26

РЕВЕЛЬСК. У҃ЗД

